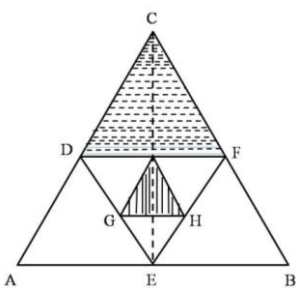


3. हरी कोई कार्य करता ही नहीं।
 4. हरी सबसे तेज कार्य करता है।
3. It takes 2 hours for Tiwari and Deo to do a job. Tiwari and Hari take 3 hours to do the same job. Deo and Hari take 6 hours to do the same job. Which of the following statements is incorrect?
 1. Tiwari alone can do the job in 3 hours
 2. Deo alone can do the job in 6 hours
 3. Hari does not work at all
 4. Hari is the fastest worker
4. अब्दुल, कैथरिन से तिगुनी तथा बिनोय से दोगुनी दूरी चलता है। कैथरिन की चाल अब्दुल की गति का $\frac{1}{3}$ तथा बिनोय की गति का $\frac{1}{2}$ है। यदि वे सभी एक साथ चलना प्रारम्भ करते हैं तो सबसे पहले कौन पहँचता है?
 1. अब्दुल और कैथरिन दोनों
 2. बिनोय
 3. कैथरिन
 4. तीनों एक साथ
4. Abdul travels thrice the distance Catherine travels, which is also twice the distance that Binoy travels. Catherine's speed is $\frac{1}{3}$ of Abdul's speed, which is also $\frac{1}{2}$ of Binoy's speed. If they start at the same time then who reaches first?
 1. Both Abdul and Catherine
 2. Binoy
 3. Catherine
 4. All three together
5. समबाहु त्रिभुजों को एक दूसरे के अन्दर चित्र में दिखायें अनुसार बनाया गया है। दो छायाकिंत क्षेत्रों के क्षेत्रफलों का अनुपात है?
-
1. $2 : 1$
 2. $\sqrt{3} : 4$
 3. $4 : 1$
 4. $8 : 1$
2. निम्न क्रम में अगला चित्र क्या होगा?
-
- 1.
- 2.
- 3.
- 4.
2. What will be the next figure in the following sequence?
-
- 1.
- 2.
- 3.
- 4.
3. तिवारी और देव एक कार्य को दो घंटे में करते हैं। उसी कार्य को तिवारी और हरी तीन घंटे में पूरा करते हैं। देव और हरी उसी कार्य को 6 घंटे में करते हैं। निम्न में से कौन सा कथन सही नहीं है?
 1. तिवारी अकेले तीन घंटे में यह कार्य कर सकता है।
 2. देव अकेले 6 घंटे में यह कार्य कर सकता है।

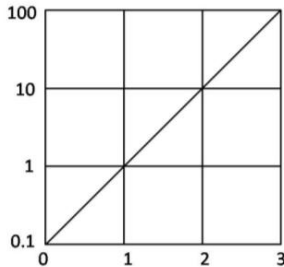
5. Equilateral triangles are drawn one inside the other as shown. What is the ratio of the two shaded areas?



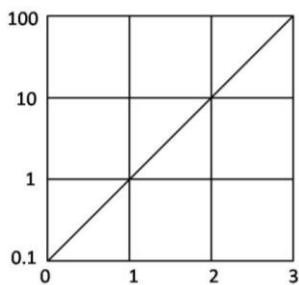
1. $2 : 1$
2. $\sqrt{3} : 4$
3. $4 : 1$
4. $8 : 1$
6. एक बहुपद $f(x)$ को $x - 5$ या $x - 3$ या $x - 2$ से भाजित करने पर 1 का शेष मिलता है। निम्न में से यह बहुपद कौन-सा हो सकता है?
1. $x^3 - 10x^2 + 31x + 31$
2. $x^3 - 10x^2 + 31x - 29$
3. $x^3 - 10x^2 + 31x - 31$
4. $x^3 - 10x^2 + 31x + 29$
6. When a polynomial $f(x)$ is divided by $x - 5$ or $x - 3$ or $x - 2$ it leaves a remainder of 1. Which of the following would be the polynomial?
1. $x^3 - 10x^2 + 31x + 31$
2. $x^3 - 10x^2 + 31x - 29$
3. $x^3 - 10x^2 + 31x - 31$
4. $x^3 - 10x^2 + 31x + 29$
7. उस चार अंकों की संख्या का चयन करें जिसमें पहले और चौथे अंकों का गुणनफल 40 है तथा बीच के अंकों का गुणनफल 28 है। इस संख्या के हजारवें स्थान का अंक इकाई के अंक से उतना ही कम है जितना कि सौवें स्थान का अंक दहाई के अंक से है।
1. 5478
2. 5748
3. 8745
4. 8475
7. Choose the four digit number, in which the product of the first & fourth digits is 40 and the product of the middle digits is 28. The thousands digit is as much less than the unit digit as the hundreds digit is less than the tens digit.
1. 5478
2. 5748
3. 8745
4. 8475

8. एक रेलगाड़ी 36 किमी/घंटा से चलते हुए प्लेटफार्म के एक चिन्ह को 8 सेकेन्ड में तथा प्लेटफार्म को 20 सेकेन्ड में पार करती है। प्लेटफार्म की लम्बाई कितनी है?
1. 120 मी.
2. 280 मी.
3. 40 मी.
4. 160 मी.
8. A train running at 36 km/h crosses a mark on the platform in 8 sec and takes 20 sec to cross the platform. What is the length of the platform?
1. 120 m
2. 280 m
3. 40 m
4. 160 m
9. एक वृत्त पर बिन्दु A, B, C, D हैं, तथा AB=5 सेमी., BC=12 सेमी., AC=13 सेमी. एवं AD=7 सेमी. है। तब CD का निकटतम मान है:
1. 9 सेमी.
2. 10 सेमी.
3. 11 सेमी.
4. 14 सेमी.
9. A, B, C, D are points on a circle with AB=5 cm, BC=12 cm, AC=13 cm and AD=7cm. Then, the closest approximation of CD is
1. 9 cm
2. 10 cm
3. 11 cm
4. 14 cm
10. प्रारम्भ में पानी से पूरे भरे हुए एक गोले की तली में स्थित एक छोटे छिद्र से पानी धीरे-धीरे टपक रहा है। यदि बाहर बह गये पानी को अनदेखा करें तब इस तंत्र का द्रव्यमान केन्द्र
1. गोले के केन्द्र में ही स्थित रहता है।
2. पानी की मात्रा घटने के साथ अनवरत नीचे खिसकता जाता है।
3. कुछ समय के लिए नीचे जाता है अंततः गोले के केन्द्र पर वापस आ जाता है।
4. आधा पानी समाप्त होने तक नीचे खिसकता जाता है तथा उसके बाद ऊपर जाता है।
10. Water is slowly dripping out of a tiny hole at the bottom of a hollow metallic sphere initially full of water. Ignoring the water that has flowed away, the centre of mass of the system
1. remains fixed at the centre of the sphere
2. moves down steadily as the amount of water decreases
3. moves down for some time but eventually returns to the centre of the sphere
4. moves down until half of the water is lost and then moves up

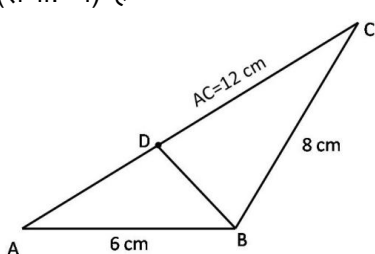
11. चित्र में फलन $f(x)$ को x के साथ दर्शाया गया है।
 $x = -1$ पर बहिर्वेशन द्वारा फलन का मान ज्ञात कीजिये



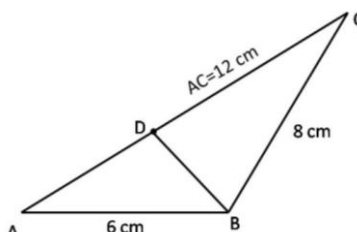
11. The function $f(x)$ is plotted against x as shown. Extrapolate and find the value of the function at $x = -1$.



12. दिए गए त्रिभुज में भुजा AC पर एक बिन्दु D इस प्रकार है कि $\angle ADB = \angle ABC$, भुजा BD की लंबाई (सेमी. में) है



1. 8
 2. 6
 3. 3
 4. 4
12. D is a point on AC in the following triangle such that $\angle ADB = \angle ABC$. Then BD (in cm) is

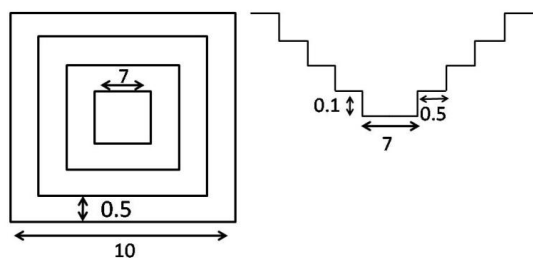


1. 8
 2. 6
 3. 3
 4. 4

13. एक मैंदक एक उछाल में ठीक 1 मीटर की दूरी तय करता है। कम से कम कितने उछालों में वह 10 सेमी. दूरी पर स्थित किसी बिन्दु पर पहुँच सकता है?
 1. 1
 2. 2
 3. 3
 4. वह ऐसी दूरी नहीं तय कर सकता।

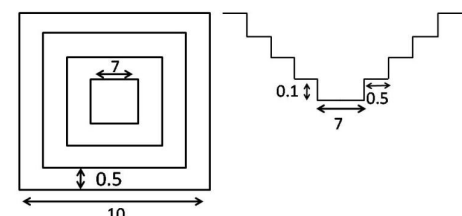
13. A frog hops and lands exactly 1 meter away at a time. What is the least number of hops required to reach a point 10 cm away?
1. 1
 2. 2
 3. 3
 4. It cannot travel such a distance

14. एक वर्गाकार बहिर्खा वाले तालाब जिसमें 0.5 मी. समान चौड़ाई तथा 0.1 मी. समान ऊँचाई की सीढ़ियां बनी हैं, उसका शीर्ष व अनुप्रस्थ काट दृश्य (मापक्रम के अनुसार नहीं) दर्शाये गये हैं। जब तालाब पूर्ण रूप से भरा है, तब उसके पानी का आयतन (घन मी. में) कितना होगा?



1. 40.0
 2. 29.4
 3. 19.4
 4. 11.3

14. The diagram (not to scale) shows the top view and cross section of a pond having a square outline and equal sized steps of 0.5 m width and 0.1m height. What will be the volume of water (in m^3) in the pond when it is completely filled?



1. 40.0
 2. 29.4
 3. 19.4
 4. 11.3

- 15.** एक व्यक्ति ने कुल आय के पहले 2 लाख रूपये पर $R\%$ की दर से तथा शेष आय पर $(R+10)\%$ की दर से आयकर का भुगतान किया। यदि कुल कर का मान वार्षिक आय का $(R+5)\%$ है तो वार्षिक आय कितनी है?
1. Rs 2.5 lakhs
 2. Rs 3.0 lakhs
 3. Rs 4.0 lakhs
 4. Rs 5.0 lakhs
- 15.** A person paid income tax at the rate of $R\%$ for the first Rs 2 lakhs, and at the rate of $(R+10)\%$ for income exceeding Rs 2 lakhs. If the total tax paid is $(R+5)\%$ of the annual income, then what is the annual income?
1. Rs 2.5 lakhs
 2. Rs 3.0 lakhs
 3. Rs 4.0 lakhs
 4. Rs 5.0 lakhs
- 16.** एक साइकिल ट्यूब की माध्य परिधि 200 सेमी. है तथा इसके वृत्तीय अनुप्रस्थ काट का व्यास 6 सेमी. है। यह मानते हुए कि ट्यूब फैलता नहीं है, इसे पूर्णरूप से भरने के लिए पानी का लगभग कितना आयतन (घन सेमी. में) चाहिये?
1. 600π
 2. 1200π
 3. 3600π
 4. 1800π
- 16.** A bicycle tube has a mean circumference of 200 cm and a circular cross section of diameter 6 cm. What is the approximate volume of water (in cc) required to completely fill the tube, assuming that it does not expand?
1. 600π
 2. 1200π
 3. 3600π
 4. 1800π
- 17.** एक पुस्तक में निम्नलिखित केवल सौ कथन हैं:
1. इस पुस्तक में 1 असत्य कथन है।
 2. इस पुस्तक में 2 असत्य कथन हैं।
 - .
 - .
 - .
 - 99 इस पुस्तक में 99 असत्य कथन हैं।
 - 100 इस पुस्तक में 100 असत्य कथन हैं।
- इनमें से कौन सा कथन सही है?
1. सौवां
 2. पहला
 3. निन्यानवेवा
 4. दूसरा
- 17.** A notebook contains only hundred statements as under:
1. This notebook contains 1 false statement.
 2. This notebook contains 2 false statements.
 - .
 - .
 - .
 99. This notebook contains 99 false statements.
 100. This notebook contains 100 false statements.
- Which of the statements is correct?
1. 100^{th}
 2. 1^{st}
 3. 99^{th}
 4. 2^{nd}
- 18.** एक पिता व पुत्र की आयु (पूर्ण वर्षों में) के वर्गों का अंतर 899 है। जब पुत्र का जन्म हुआ उस समय पिता की आयु थी।
1. अपूर्ण आंकड़ों के कारण जात नहीं की जा सकती
 2. 27 वर्ष
 3. 29 वर्ष
 4. 31 वर्ष
- 18.** The difference between the squares of the ages (in complete years) of a father and his son is 899. The age of the father when his son was born
1. cannot be ascertained due to inadequate data.
 2. is 27 years.
 3. is 29 years.
 4. is 31 years.
- 19.** किसी प्रयोग में विभिन्न समय ' t ' पर एक चर ' v ' का मान नीचे दिये गये प्रेक्षण समुच्चय के अनुसार पाया जाता है।
- | | | | | | | | |
|-----|---|-----|-----|------|------|------|------|
| t | 0 | 1 | 2 | 3 | 4 | 5 | 6 |
| v | 5 | 6.1 | 9.1 | 13.7 | 20.6 | 30.8 | 41.4 |
- प्रायोगिक अशुद्धियों को सम्मिलित करते हुए निम्न में से कौन-सा व्यंजन ' t ' तथा ' v ' के बीच का संबंध श्रेष्ठतम वर्णित करता है?
1. $v \propto t^2$
 2. $(v - 5) \propto t^2$
 3. $v = 5t + t^2$
 4. $(v - 5) = (t + 5)^2$

19. An experiment leads to the following set of observations of the variable ‘ v ’ at different times ‘ t ’.

t	0	1	2	3	4	5	6
v	5	6.1	9.1	13.7	20.6	30.8	41.4

Allowing for experimental errors, which of the following expressions best describes the relationship between t and v ?

1. $v \propto t^2$
 2. $(v - 5) \propto t^2$
 3. $v = 5t + t^2$
 4. $(v - 5) = (t + 5)^2$
20. $m \times n$ इकाई वर्ग टाइलों वाली एक चॉकलेट छड़ दी गई है। इसे पूर्ण रूप से पृथक टाइलों में विभक्त करने के लिए, बिना एक के ऊपर एक रखे, कितने बार तोड़ना होगा, इसकी गणना कीजिये
- $(m \times n)$
 - $(m - 1) \times (n - 1)$
 - $(m \times n) - 1$
 - $(m \times n) + 1$
20. A chocolate bar having $m \times n$ unit square tiles is given. Calculate the number of cuts needed to break it completely, without stacking, into individual tiles.
- $(m \times n)$
 - $(m - 1) \times (n - 1)$
 - $(m \times n) - 1$
 - $(m \times n) + 1$

21. 3F पद में उपस्थित माइक्रोस्टेटों की संख्या है

- 3
- 21
- 9
- 28

21. The number of microstates present in 3F term is
- 3
 - 21
 - 9
 - 28

22. BH खंड से आइसोलोबल CpM [Cp is ($\eta^5-C_5H_5$)] खंड है

- $CpGe$
- $CpMn$
- $CpRu$
- $CpCo$

22. CpM [Cp is ($\eta^5-C_5H_5$)] fragment isolobal with a BH fragment is

- $CpGe$
- $CpMn$
- $CpRu$
- $CpCo$

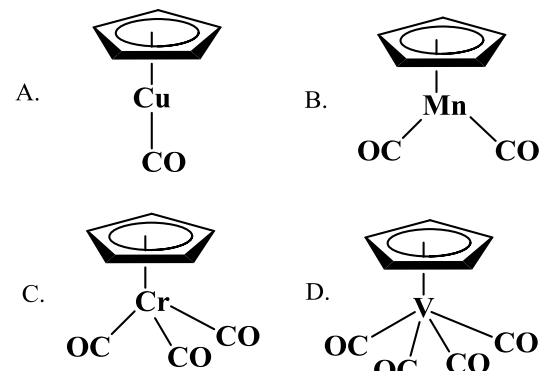
23. $[Ni^{II}L_6]^{n+ \text{ or } n^-}$ अवशोषण बैन्ड 8500, 15400, तथा 26000 cm^{-1} पर दर्शाता है जबकि $[Ni^{II}L'_6]^{n+ \text{ or } n^-}$, 10750, 17500, तथा 28200 cm^{-1} पर दर्शाता है। L तथा L' हैं, क्रमशः:

- OH^- तथा N_3^-
- Cl^- तथा I^-
- NCS^- तथा RCO_2^-
- H_2O तथा NH_3

23. $[Ni^{II}L_6]^{n+ \text{ or } n^-}$ shows absorption bands at 8500, 15400, and 26000 cm^{-1} whereas $[Ni^{II}L'_6]^{n+ \text{ or } n^-}$, at 10750, 17500, and 28200 cm^{-1} . L and L' are respectively,

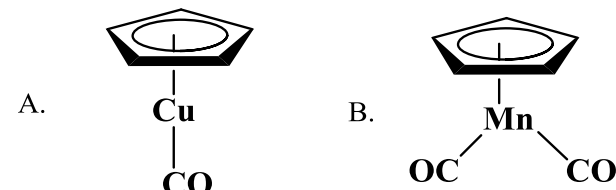
- OH^- and N_3^-
- Cl^- and I^-
- NCS^- and RCO_2^-
- H_2O and NH_3

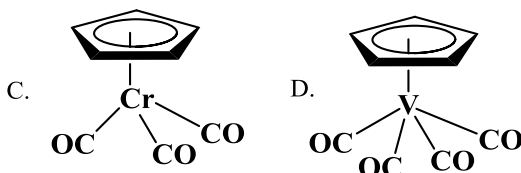
24. निम्नलिखित में से वह स्पीशीज पहिचानिए जो 18 इलेक्ट्रॉन नियम का अनुसरण करती हैं:



- A तथा B
- B तथा C
- C तथा D
- A तथा D

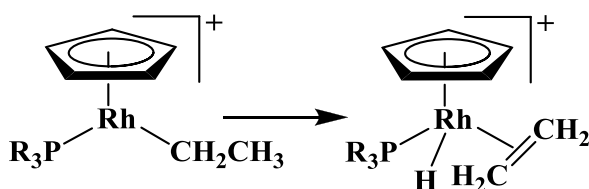
24. Identify the species, those obey the 18 electron rule, from the following:





1. A and B
2. B and C
3. C and D
4. A and D

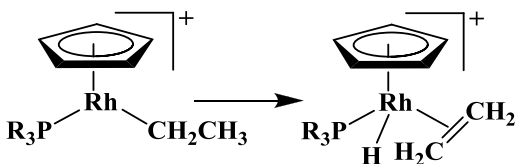
25. निम्नलिखित रूपांतरण



जिसका एक उदाहरण है, वह है

1. उपचायी संकलन
2. निवेशन
3. β -हाइड्राइड विलोपन
4. अपचायक विलोपन

25. The following transformation



is an example of

1. oxidative addition
2. insertion
3. β -hydride elimination
4. reductive elimination

26. B_2 अणु के लिए π तथा π^* आर्बिटलों का उचित संयोग है

- | | |
|---------|---------|
| π | π^* |
| 1. सम | विषम |
| 2. विषम | सम |
| 3. सम | सम |
| 4. विषम | विषम |

26. Correct combination for π and π^* orbitals in B_2 molecule is

	π	π^*
1.	Gerade	Ungerade
2.	Ungerade	Gerade
3.	Gerade	Gerade
4.	Ungerade	Ungerade

27. VSEPR सिद्धांत के आधार पर $[TeF_5]^-$ आयन की जो सही आकृति है, वह है

1. त्रिसमनताक्ष द्विपिरेमिडीय
2. वर्ग पिरेमिडीय
3. पंच समनताक्ष समतलीय
4. फेकुली

27. The correct shape of $[TeF_5]^-$ ion on the basis of VSEPR theory is

1. Trigonal bipyramidal
2. Square pyramidal
3. Pentagonal planar
4. See-saw

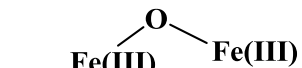
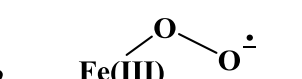
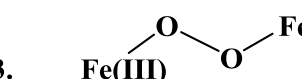
28. $[Co_2Fe_2(CO)_{11}(\mu_4\text{-PPh})_2]$ में धातु-धातु आवन्धों की संख्या है।

1. 3 2. 4
3. 5 4. 6

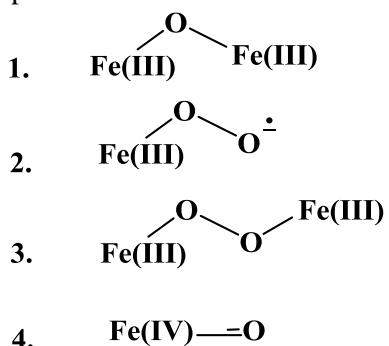
28. The number of metal-metal bonds in $[Co_2Fe_2(CO)_{11}(\mu_4\text{-PPh})_2]$ is

1. 3 2. 4
3. 5 4. 6

29. बंधित ग्लोबिन चेन की अनुपस्थित में; हीम ग्रुप O_2 से प्रभावन पर जो आयरन-ऑक्सीजन स्पीशीज देता है, वह है

1. 
2. 
3. 
4. $Fe(IV)=O$

29. In the absence of bound globin chain, heme group on exposure to O₂ gives the iron-oxygen species



30. P-S तथा P-P आबन्धों की संख्या यौगिक P₄S₃ में है क्रमशः:

1. 6 तथा 3 2. 4 तथा 3
3. 3 तथा 6 4. 6 तथा 2

30. The numbers of P-S and P-P bonds in the compound P₄S₃ are, respectively,

1. 6 and 3 2. 4 and 3
3. 3 and 6 4. 6 and 2

31. CaCO₃ के तापभारात्मक विश्लेषण में अपघटन ताप जिस गतिक एटमौस्फियर में सर्वाधिक होगा, वह है

1. नाइट्रोजन
2. संश्लेषण गैस
3. O₂ तथा CO का 1:1 मिश्रण
4. जल गैस

31. Decomposition temperature of CaCO₃ in thermogravimetric analysis will be highest in dynamic atmosphere of

1. nitrogen
2. synthesis gas
3. 1:1 mixture of O₂ and CO
4. water gas

32. सोडियम थायोसल्फेट (Na₂S₂O₃) के, अम्लीय डाइक्रोमेट विलयन से आयडोमिति अनुमापन में 0.1 M डाइक्रोमेट के 25 mL के लिए 'x' M थायोसल्फेट के 25 mL की आवश्यकता होती है। 'x' का मान है

1. 0.2 2. 0.1
3. 0.6 4. 0.4

32. In the iodometric titration of sodium thiosulfate (Na₂S₂O₃) with acidic dichromate solution,

25 mL of 0.1 M dichromate requires 25 mL of 'x' M thiosulfate. The value of 'x' is

1. 0.2 2. 0.1
3. 0.6 4. 0.4

33. यौगिक जो POCl₃ में विलय के पश्चात् एक सर्वाधिक क्लोराइड आयन साद्रता का विलयन देता है, वह है।

1. Et₃N 2. KCl
3. FeCl₃ 4. SbCl₅

33. The compound which dissolves in POCl₃ to give a solution with highest chloride ion concentration, is

1. Et₃N 2. KCl
3. FeCl₃ 4. SbCl₅

34. ⁵⁶Ba¹³¹ दो क्रमिक इलेक्ट्रॉन परिग्रहण के पश्चात् देगा

1. ⁵⁴Xe¹³¹ 2. ⁵⁴Xe¹³⁰
3. ⁵⁶Ce¹³¹ 4. ⁵⁶Ce¹³⁰

34. On two sequential electron capture, ⁵⁶Ba¹³¹ will give

1. ⁵⁴Xe¹³¹ 2. ⁵⁴Xe¹³⁰
3. ⁵⁶Ce¹³¹ 4. ⁵⁶Ce¹³⁰

35. कीलेट प्रभाव

1. मुख्यरूप से एन्थैल्पी में परिवर्तन के कारण है
2. मुख्यरूप से एन्ट्रापी में परिवर्तन के कारण है
3. बलय साइज से स्वतंत्र है
4. एन्थैल्पी तथा एन्ट्रापी में परिवर्तन के समान योगदान से होता है

35. Chelate effect is

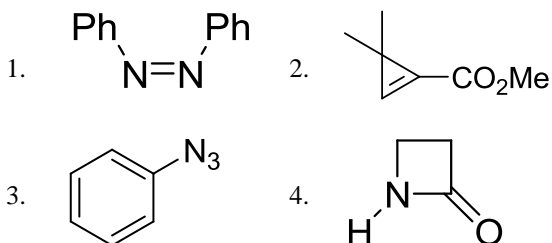
1. predominantly due to enthalpy change
2. predominantly due to entropy change
3. independent of ring size
4. due to equal contribution of entropy and enthalpy change

36. मोनो ऋणायनिक संकुल [UO₂(NO₃)₃]⁻ के लिए सही समन्वय संख्या तथा ज्यामिति हैं क्रमशः:

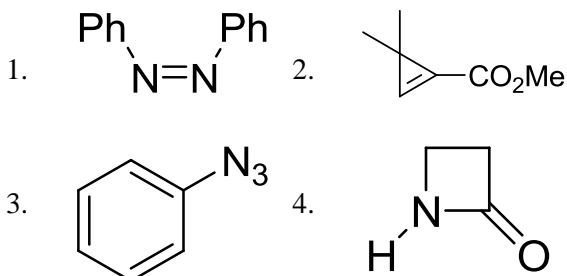
1. 8 तथा षट्कोणीय द्विपिरेमिडीय
2. 5 तथा वर्ग पिरैमिडीय
3. 8 तथा वर्ग प्रतिप्रिञ्जम
4. 5 तथा त्रिसमानताक्ष द्विपिरेमिडीय

36. For monoionic complex $[\text{UO}_2(\text{NO}_3)_3]^-$, the correct coordination number and geometry respectively, are
1. 8 and hexagonal bipyramidal
 2. 5 and square pyramidal
 3. 8 and square antiprism
 4. 5 and trigonal bipyramidal

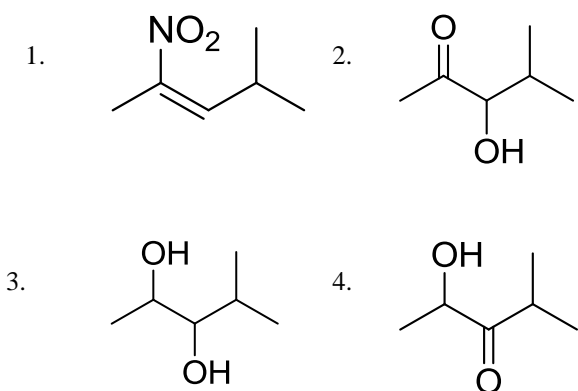
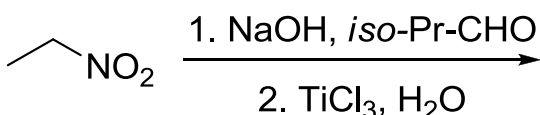
37. निम्नलिखित में से यौगिक जो एक IR बैंड 2150 cm^{-1} पर दर्शाता है, वह है



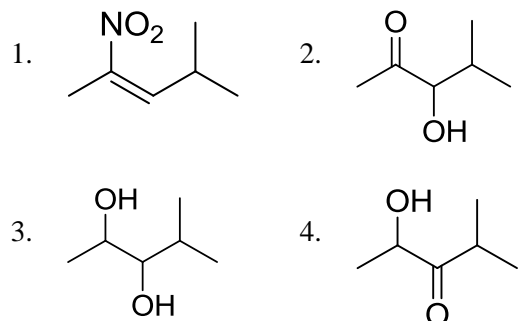
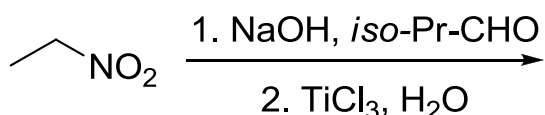
37. Among the following, the compound that displays an IR band at 2150 cm^{-1} is



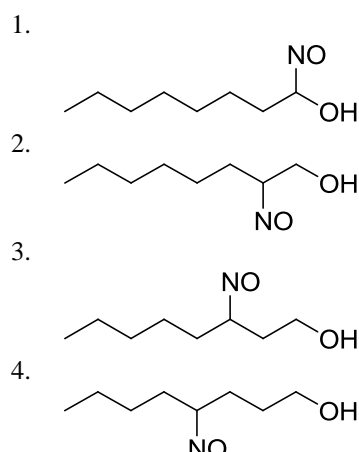
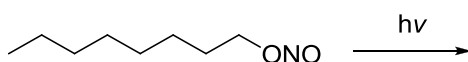
38. निम्नलिखित अभिक्रिया में उत्पन्न मुख्य उत्पाद है



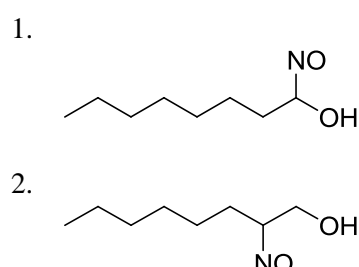
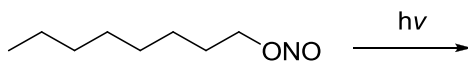
38. The major product formed in the following reaction is



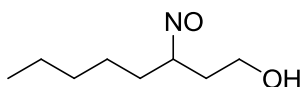
39. निम्नलिखित अभिक्रिया में उत्पन्न मुख्य उत्पाद है



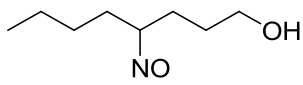
39. The major product formed in the following reaction is



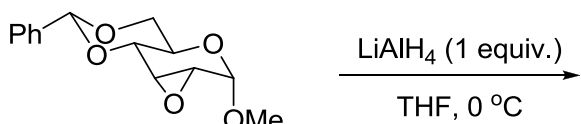
3.



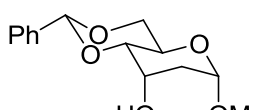
4.



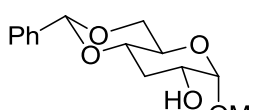
40. निम्नलिखित अभिक्रिया में मुख्य उत्पाद है



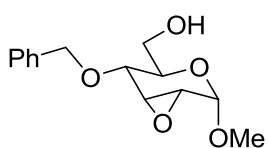
1.



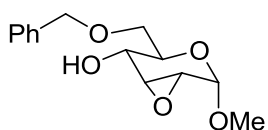
2.



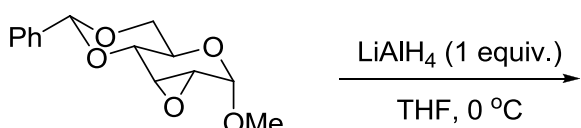
3.



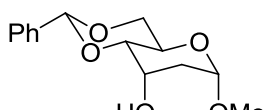
4.



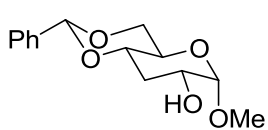
40. The major product formed in the following reaction is



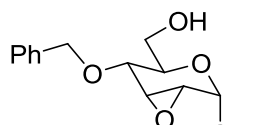
1.



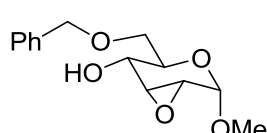
2.



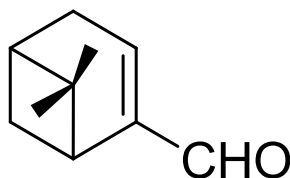
3.



4.



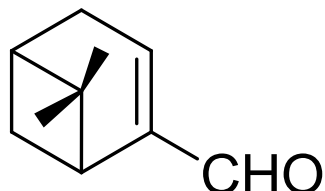
41. Myrtenal के ^1H NMR स्पेक्ट्रम में दो मेथिल ग्रुपों के सिग्नलों का प्रदर्शन जहां अपेक्षित है, वह हैं/हैं (रासायनिक सूति मान (δ) ppm में हैं)



myrtenal

1. 1.35 (s, 3H) तथा 5.0 (s, 3H) पर
2. 0.74 (s, 3H) तथा 1.33 (s, 3H) पर
3. 1.22 (s, 6H) पर
4. 0.70 (s, 6H) पर

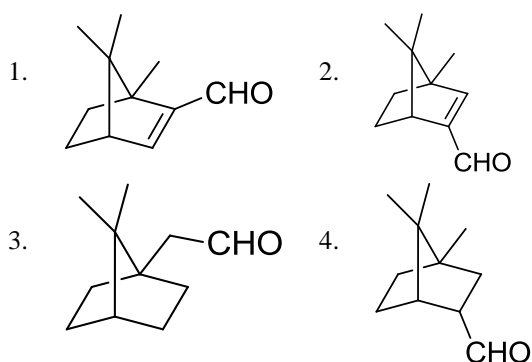
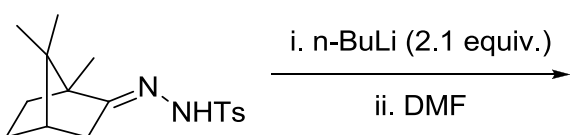
41. In the ^1H NMR spectrum of myrtenal, the two methyl groups are expected to display signals at (chemical shift values (δ) in ppm)



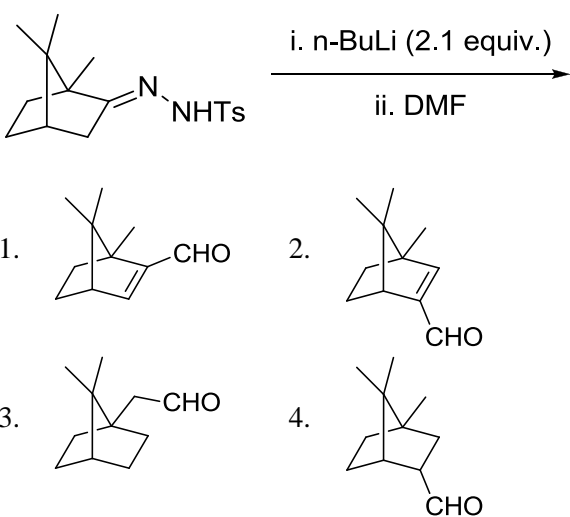
myrtenal

1. 1.35 (s, 3H) and 5.0 (s, 3H)
2. 0.74 (s, 3H) and 1.33 (s, 3H)
3. 1.22 (s, 6H)
4. 0.70 (s, 6H)

42. निम्नलिखित अभिक्रिया में उत्पन्न मुख्य उत्पाद है



42. The major product formed in the following reaction is



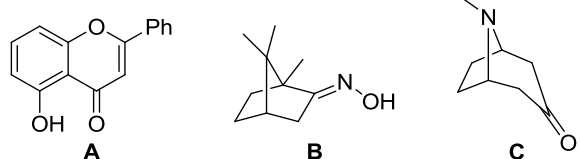
43. आइसोब्यूटिलीन की HCl से अभिक्रिया में, कार्बोधनायन मध्यवर्ती के विरचन के लिए जो फ्रन्टियर आर्बिटल अन्योन्य क्रियाएं सम्मिलित होती हैं, वह हैं

1. ओलिफिन का π तथा HCl का σ^*
2. ओलिफिन का π तथा HCl का σ
3. ओलिफिन का π^* तथा HCl का σ^*
4. ओलिफिन का π^* तथा HCl का σ

43. The frontier orbital interactions involved in the formation of the carbocation intermediate in the reaction of isobutylene with HCl are

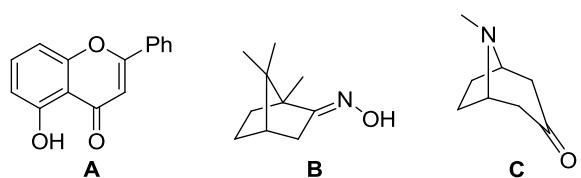
1. π of olefin and σ^* of HCl
2. π of olefin and σ of HCl
3. π^* of olefin and σ^* of HCl
4. π^* of olefin and σ of HCl

44. निम्नलिखित में से यौगिक/यौगिकों जिनका वर्गीकरण टर्पीन व्युत्पन्नों में किया जा सकता है, वह है/हैं



1. A तथा B
2. A केवल
3. B केवल
4. B तथा C

44. Among the following, the compound(s) that can be classified as terpene derivative is(are)



1. A and B
2. A only
3. B only
4. B and C

45. α,β -असंतृप्त कार्बोनिल यौगिक के UV-visible अवशोषण स्पेक्ट्रम में विलायक की ध्रुवणा बढ़ाने पर

1. n- π^* संक्रमणों में hypsochromic शिफ्ट होती है, $\pi-\pi^*$ में bathochromic शिफ्ट होती है।
2. n- π^* संक्रमणों में bathochromic शिफ्ट होती है, $\pi-\pi^*$ में hypsochromic शिफ्ट होती है।
3. n- π^* तथा $\pi-\pi^*$ दोनों संक्रमणों में bathochromic शिफ्ट होती है।
4. n- π^* तथा $\pi-\pi^*$ दोनों संक्रमणों में hypsochromic शिफ्ट होती है।

45. In the UV-visible absorption spectrum of an α,β -unsaturated carbonyl compound, with increasing solvent polarity,

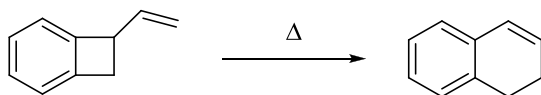
1. n-π* transitions undergo hypsochromic shift, π-π* undergo bathochromic shift
2. n-π* transitions undergo bathochromic shift, π-π* undergo hypsochromic shift
3. both n-π* and π-π* transitions undergo bathochromic shift
4. both n-π* and π-π* transitions undergo hypsochromic shift

46. निम्नलिखित रूपांतरण दो क्रमिक इलेक्ट्रोसाइक्लिक प्रक्रमों द्वारा संपन्न होता है। वह प्रक्रम है



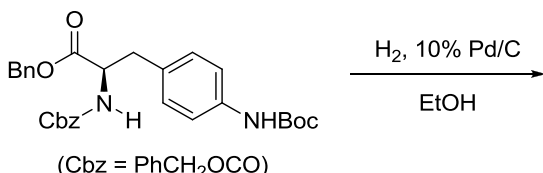
1. 4π conrotatory तथा 6π conrotatory
2. 4π disrotatory तथा 6π conrotatory
3. 4π conrotatory तथा 6π disrotatory
4. 4π disrotatory तथा 6π disrotatory

46. The following transformation proceeds through two consecutive electrocyclic processes, which are

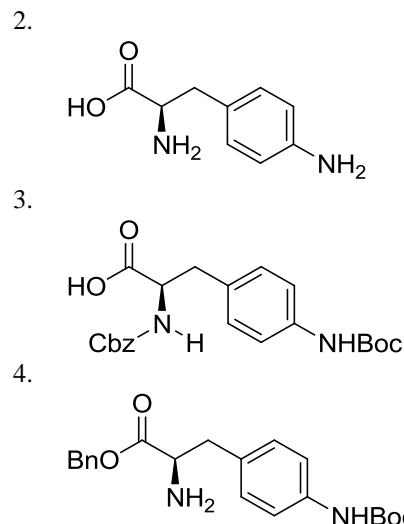


1. 4π conrotatory and 6π conrotatory
2. 4π disrotatory and 6π conrotatory
3. 4π conrotatory and 6π disrotatory
4. 4π disrotatory and 6π disrotatory

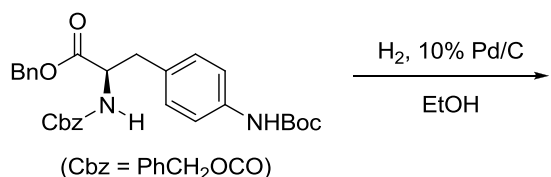
47. निम्नलिखित अभिक्रिया में उत्पन्न मुख्य उत्पाद हैं



- 1.
-

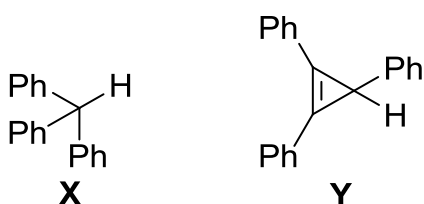


47. The major product formed in the following reaction is

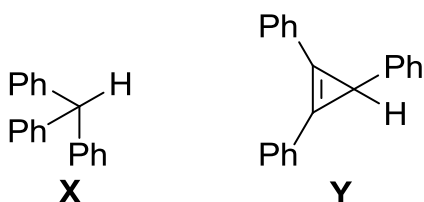


- 1.
- 2.
- 3.
- 4.

48. X तथा Y की NaNH_2 से अभिक्रिया के लिए सही कथन हैं

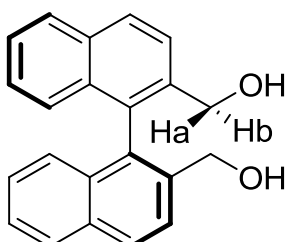


- A. X तीव्र गति से अभिक्रिया करता है Y की तुलना में
B. Y तीव्र गति से अभिक्रिया करता है X की तुलना में
C. X तथा Y का व्यवहार लूँगस अम्ल की तरह है
D. X एक शक्तिशाली ब्रन्सटेद अम्ल है Y की तुलना में
1. A तथा C 2. A तथा D
3. B तथा C 4. B तथा D
48. The correct statement are about the reaction of X and Y with NaNH_2 is



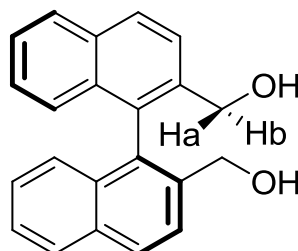
- A. X reacts faster than Y
B. Y reacts faster than X
C. X and Y behave as Lewis acids
D. X is stronger Bronsted acid than Y
1. A and C 2. A and D
3. B and C 4. B and D

49. निम्नलिखित यौगिक में H_a तथा H_b का जो स्टीरियोरायानिक विवरण देता है, वह है



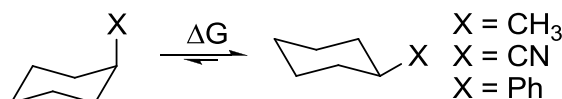
1. एनैनिटोटापिक
2. डाइस्टीरियोटापिक
3. समस्थेय
4. संघटनात्मक विषम स्थानिक

49. In the following compound, the stereochemical descriptor for H_a and H_b is



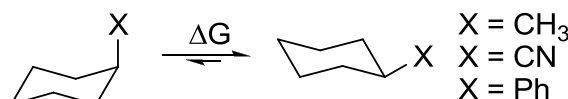
1. enantiotopic
2. diasterotopic
3. homotopic
4. constitutionally heterotopic

50. साइक्लोहेक्सेन व्युत्पन्नों के लिए दिये गये प्रतिस्थापीयों के 'A मानों' के परिमाणों का सही क्रम है



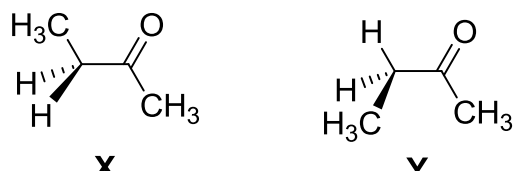
1. Ph > CN > Me
2. Me > Ph > CN
3. CN > Me > Ph
4. Ph > Me > CN

50. The correct order of the magnitude of 'A values' for the given substituents in cyclohexane derivatives is



1. Ph > CN > Me
2. Me > Ph > CN
3. CN > Me > Ph
4. Ph > Me > CN

51. 2-ब्यूटेनोन के X तथा Y संरूपणों के लिए सही कथन हैं।

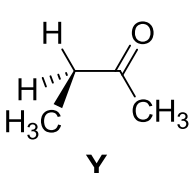
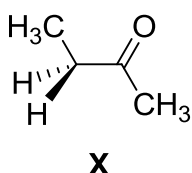


- A. Y की अपेक्षा X अधिक स्थायी है
B. X की अपेक्षा Y अधिक स्थायी है

- C. X में मैथिल ग्रुप anti हैं
 D. Y में मैथिल ग्रुप gauche हैं

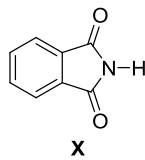
1. A तथा D
2. A तथा C
3. B तथा C
4. A, C तथा D

51. The correct statements about conformations X and Y of 2-butanone are



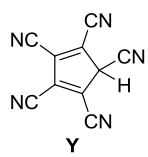
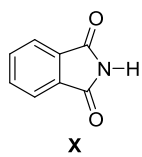
- A. X is more stable than Y
 B. Y is more stable than X
 C. Methyl groups in X are anti
 D. Methyl groups in Y are gauche
 1. A and D
 2. A and C
 3. B and C
 4. A, C and D

52. यौगिकों X, Y तथा Z के pKa मानों का सही क्रम है।



1. X > Y > Z
2. Y > Z > X
3. Z > X > Y
4. Y > X > Z

52. The correct order of pKa values for the compounds X, Y and Z is



1. X > Y > Z
2. Y > Z > X
3. Z > X > Y
4. Y > X > Z

53. संहति M के कणों से संघटित एक आदर्श गैस एक पात्र में ताप T पर तापीय साम्य अवस्था में है। एक दूसरे पात्र में $2M$ संहति की आदर्श गैस के कण $2T$ ताप पर हैं। दोनों गैसों के लिए सही कथन है:

1. औसत गतिज ऊर्जा तथा औसत स्पीड दोनों गैसों के लिए समान है।
2. दोनों औसतों का मान दूसरी गैस के लिए दो गुना होगा।
3. केवल औसत गतिज ऊर्जा दूसरी गैस के लिए दो गुनी होगी।
4. केवल औसत स्पीड दूसरी गैस के लिए दो गुनी होगी।

53. An ideal gas is composed of particles of mass M in thermal equilibrium at a temperature T in one container. Another container contains ideal gas particles of mass $2M$ at a temperature $2T$. The correct statement about the two gases is:

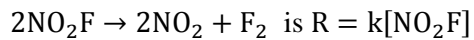
1. average kinetic energy and average speed will be same in the two cases.
2. both the averages will be doubled in the second case.
3. only the average kinetic energy will be doubled in the second case.
4. only the average speed will be doubled in the second case.

54. प्रायोगिक रूप से निर्धारित रासायनिक अभिक्रिया $2\text{NO}_2\text{F} \rightarrow 2\text{NO}_2 + \text{F}_2$ के लिए दर नियम है $R = k[\text{NO}_2\text{F}]$ ।

दर नियम के संगत दर निर्धारण पद है

1. $2\text{NO}_2\text{F} \rightarrow 2\text{NO}_2 + \text{F}_2$
2. $\text{NO}_2\text{F} + \text{F} \rightarrow \text{NO}_2 + \text{F}_2$
3. $\text{NO}_2\text{F} \rightarrow \text{NO}_2 + \text{F}$
4. $\text{NO}_2 + \text{F} \rightarrow \text{NO}_2\text{F}$

54. Experimentally determined rate law for the chemical reaction



The rate determining step consistent with the rate law is

1. $2\text{NO}_2\text{F} \rightarrow 2\text{NO}_2 + \text{F}_2$
2. $\text{NO}_2\text{F} + \text{F} \rightarrow \text{NO}_2 + \text{F}_2$
3. $\text{NO}_2\text{F} \rightarrow \text{NO}_2 + \text{F}$
4. $\text{NO}_2 + \text{F} \rightarrow \text{NO}_2\text{F}$

- 55.** सरल आवर्ती दोलक के हैमिल्टोनियम H ($H = T + V$ के अभिलक्षणिक फलन (जहां T तथा V क्रमशः गतिज ऊर्जा तथा स्थितिज ऊर्जा आपरेटर हैं)
1. T तथा V के अभिलक्षणिक फलन हैं
 2. T अभिलक्षणिक फलन हैं पर V के नहीं हैं
 3. V अभिलक्षणिक फलन हैं पर T के नहीं हैं
 4. T तथा V दोनों के अभिलक्षणिक फलन नहीं हैं
- 55.** The eigenfunctions of the Hamiltonian H ($H = T + V$) of a harmonic oscillator are (where T and V are kinetic energy and potential energy operators, respectively)
1. eigenfunctions of T as well as V
 2. eigenfunctions of T , but **not** of V
 3. eigenfunctions of V , but **not** of T
 4. eigenfunctions of **neither** T **nor** V
- 56.** एक अभिक्रिया की दरें R_1 तथा R_2 क्रमशः एक अभिकर्मक की सान्द्रता C_1 तथा C_2 पर हैं। इस अभिकर्मक के सापेक्ष अभिक्रिया की कोटि 'n' (मान लीजिए के दूसरे अभिकर्मकों की सांद्रता तथा T नियत रहते हैं) को देता है
1. $n = \frac{\log R_1 - \log R_2}{\log C_1 - \log C_2}$
 2. $n = \frac{\log C_1 - \log C_2}{\log R_1 - \log R_2}$
 3. $n = \frac{\log C_1 - \log R_1}{\log C_2 - \log R_2}$
 4. $n = \frac{\log C_2 - \log R_2}{\log C_1 - \log R_1}$
- 56.** If the rates of a reaction are R_1 and R_2 at concentrations C_1 and C_2 of a reactant respectively, the order of reaction, 'n'(assuming that the concentrations of all other reactants and T remain constant) with respect to that reactant is given by
1. $n = \frac{\log R_1 - \log R_2}{\log C_1 - \log C_2}$
 2. $n = \frac{\log C_1 - \log C_2}{\log R_1 - \log R_2}$
 3. $n = \frac{\log C_1 - \log R_1}{\log C_2 - \log R_2}$
 4. $n = \frac{\log C_2 - \log R_2}{\log C_1 - \log R_1}$
- 57.** कोणीय संवेग ऑपरेटरों L^2 तथा L_z के समक्षणिक अभिलक्षणिक फलन
1. सभी $2s, 2p_x, 2p_y$ तथा $2p_z$ आर्बिटलों के लिए होते हैं।
 2. केवल $2s, 2p_x$ तथा $2p_y$ आर्बिटलों के लिए होते हैं।
3. केवल $2s$ तथा $2p_z$ आर्बिटलों के लिए होते हैं।
4. केवल $2p_z$ आर्बिटल के लिए होते हैं।
- 57.** The simultaneous eigenfunctions of angular momentum operators L^2 and L_z are
1. all of $2s, 2p_x, 2p_y$ and $2p_z$ orbitals
 2. only $2s, 2p_x$ and $2p_y$ orbitals
 3. only $2s$ and $2p_z$ orbitals
 4. only $2p_z$ orbital
- 58.** निम्नलिखित अणु की सर्वाधिक स्थिर ज्यामिती के लिए सममिति बिन्दु समूह है
- $\text{Cl}(\text{H})\text{C}=\text{C}=\text{C}(\text{H})\text{Cl}$
1. C_2
 2. C_1
 3. C_{2v}
 4. C_{2h}
- 58.** The symmetry point group of the most stable geometry of the following molecule $\text{Cl}(\text{H})\text{C}=\text{C}=\text{C}(\text{H})\text{Cl}$ is
1. C_2
 2. C_1
 3. C_{2v}
 4. C_{2h}
- 59.** d^6 विन्यास के लिए निम्नतम ऊर्जा पद है
1. 2D
 2. 5D
 3. 1P
 4. 1D
- 59.** The lowest energy term for the d^6 configuration is
1. 2D
 2. 5D
 3. 1P
 4. 1D
- 60.** विभव मूलक अनुमापन में अंत्य बिन्दु जिससे अवलक्षित होता है, वह है
1. $\frac{dE}{dV} = 0, \frac{d^2E}{dV^2} = 0$
 2. $\frac{dE}{dV} \neq 0, \frac{d^2E}{dV^2} = 0$
 3. $\frac{dE}{dV} = 0, \frac{d^2E}{dV^2} \neq 0$
 4. $\frac{dE}{dV} \neq 0, \frac{d^2E}{dV^2} \neq 0$
- जहां E अनुमापन सेल का emf है तथा V अनुमापक का संक्लित आयतन है

60. In a potentiometric titration, the end point is characterised by

1. $\frac{dE}{dV} = 0, \frac{d^2E}{dV^2} = 0$
2. $\frac{dE}{dV} \neq 0, \frac{d^2E}{dV^2} = 0$
3. $\frac{dE}{dV} = 0, \frac{d^2E}{dV^2} \neq 0$
4. $\frac{dE}{dV} \neq 0, \frac{d^2E}{dV^2} \neq 0$

where E is the emf of the titration cell and V is the volume of the titrant added

61. एक अनुमापन में ऐलिक्वाट के मापे गये आयतन तथा मापे गए अनुमाप आयतन में प्रतिशत अनिश्चिततायें क्रमशः $\pm x$ तथा $\pm y$ हैं। ऐलिक्वाट की परकलित सान्द्रता में प्रतिशत त्रुटि है।

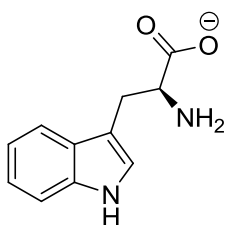
1. $x + y$
2. xy
3. $(xy)^{1/2}$
4. $(x^2 + y^2)^{1/2}$

61. In a titration, the percentage uncertainties in the measured aliquot volume and the measured titre volume are $\pm x$ and $\pm y$ respectively. The percentage error in the calculated concentration of aliquot is

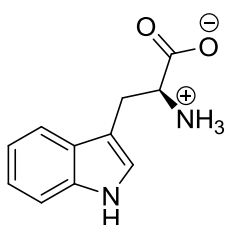
1. $x + y$
2. xy
3. $(xy)^{1/2}$
4. $(x^2 + y^2)^{1/2}$

62. pH 10 पर ट्रिप्टोफेन का जो अस्थित्व होता है, वह है

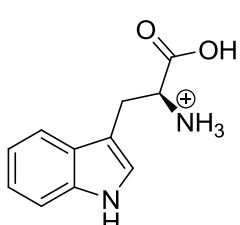
1.



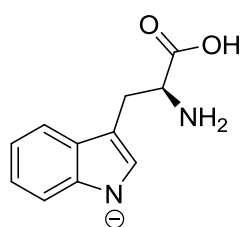
2.



3.

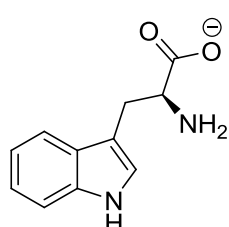


4.

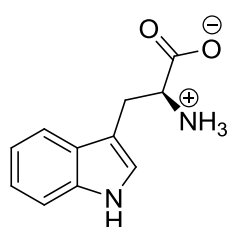


62. At pH 10, tryptophan exists as

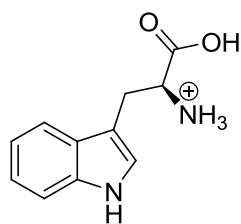
1.



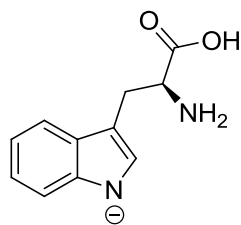
2.



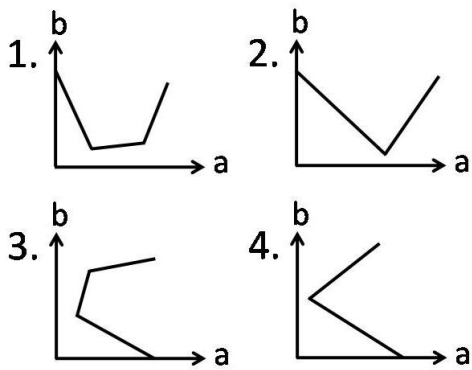
3.



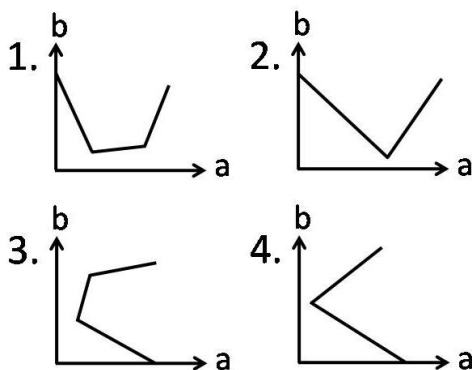
4.



63. NaOH के विलयन का HCl तथा $\text{CH}_3\text{CO}_2\text{H}$ के विलयनों के मिश्रण से चालकता मूलक अनुमापन करने में, मिश्रित अम्लों के संकलित आयतन (b) को y-axis पर तथा चालकता (a) को x-axis पर लेकर खीचें गये आरेख का जो प्रत्याशित रूप होगा, वह है



63. On titrating conductometrically a NaOH solution with a mixture of HCl and $\text{CH}_3\text{CO}_2\text{H}$ solutions, plot of the volume of mixed acid added (b) in y-axis against the conductance (a) in x-axis is expected to look like



64. एक नियत ताप एवं माध्यम में मानक इलेक्ट्रोड विभव E° की निर्भरता होती है
- केवल इलेक्ट्रोड की संरचना पर
 - इलेक्ट्रोड की संरचना तथा इसकी अभिक्रिया के परिमाण पर
 - केवल इलेक्ट्रोड अभिक्रिया के परिमाण पर
 - इलेक्ट्रोड अभिक्रिया तथा इलेक्ट्रोड संरचना पर

64. The standard electrode potential E° at a fixed temperature and in a given medium is dependent on
- only the electrode composition
 - the electrode composition and the extent of the reaction
 - the extent of the electrode reaction only
 - the electrode reaction and the electrode composition

65. घनीय क्रिस्टल में [100] तल का जिन तलों के साथ समान झुकाव होता है, वह है

- [010] तथा [011]
- [010] तथा [110]
- [001] तथा [101]
- [110] तथा [011]

65. In a cubic crystal, the plane [100] is equally inclined to the planes
- [010] and [011]
 - [010] and [110]
 - [001] and [101]
 - [110] and [011]

66. कॉलम A में धातु दिये हैं तथा कॉलम B में उनके यौगिकों के रूप में औषधीय उपयोग दिए हैं

कॉलम A		कॉलम B	
(a)	Gd	(i)	कैन्सर
(b)	Au	(ii)	मेनिएक डिप्रेशन
(c)	Pt	(iii)	MRI कॉन्ट्रास्ट एजेंट
(d)	Li	(iv)	आर्थ्राइटिस

सही मिलान है

- (a)-(ii); (b)-(iii); (c)-(iv); (d)-(i);
- (a)-(iv); (b)-(ii); (c)-(i); (d)-(iii);
- (a)-(iii); (b)-(iv); (c)-(i); (d)-(ii);
- (a)-(i); (b)-(ii); (c)-(iii); (d)-(iv).

66. Match the metal given in Column A with its medicinal use as a compound in Column B.

Column A		Column B	
(a)	Gd	(i)	Cancer
(b)	Au	(ii)	Maniac depression
(c)	Pt	(iii)	MRI contrast agent
(d)	Li	(iv)	Arthritis

Correct match is

- (a)-(ii); (b)-(iii); (c)-(iv); (d)-(i);
- (a)-(iv); (b)-(ii); (c)-(i); (d)-(iii);
- (a)-(iii); (b)-(iv); (c)-(i); (d)-(ii);
- (a)-(i); (b)-(ii); (c)-(iii); (d)-(iv).

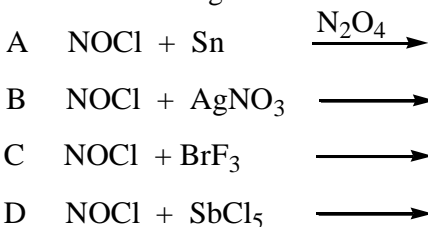
67. हाइड्रोजन अणु की प्रथम उत्तेजित अवस्था है
- ${}^1\Sigma_g^+$
 - ${}^1\Sigma_u^-$
 - ${}^3\Sigma_g^-$
 - ${}^3\Sigma_u^+$

67. The first excited state of hydrogen molecule is
- ${}^1\Sigma_g^+$
 - ${}^1\Sigma_u^-$
 - ${}^3\Sigma_g^-$
 - ${}^3\Sigma_u^+$

- 68.** जब कोलाइडी क्ले वाला नदी जल समुद्र में बहता है तो सिलिंगं का मुख्य कारण होता है
- बालू का तले पर एकत्रित होना
 - ऊर्जन तथा स्कंदन
 - समुद्र जल की लवणता घटना
 - मिसेलीकरण
- 68.** When river water containing colloidal clay flows into the sea, the major cause of silting is
- accumulation of sand at the bottom
 - flocculation and coagulation
 - decreased salinity of sea water
 - micellization
- 69.** एक आदर्श गैस के लिए 300K पर
- $\left(\frac{\partial U}{\partial V}\right)_T = 0$
 - $\left(\frac{\partial U}{\partial T}\right)_V = 0$
 - $\left(\frac{\partial H}{\partial T}\right)_P = 0$
 - $\left(\frac{\partial G}{\partial T}\right)_P = 0$
- 69.** For an ideal gas at 300K
- $\left(\frac{\partial U}{\partial V}\right)_T = 0$
 - $\left(\frac{\partial U}{\partial T}\right)_V = 0$
 - $\left(\frac{\partial H}{\partial T}\right)_P = 0$
 - $\left(\frac{\partial G}{\partial T}\right)_P = 0$
- 70.** $\left(\frac{\partial H}{\partial P}\right)_T$ की विमा है
- दाब की
 - आयतन की
 - ताप की
 - ऊष्मा धारिता की
- 70.** $\left(\frac{\partial H}{\partial P}\right)_T$ has the dimension of
- pressure
 - volume
 - temperature
 - heat capacity
-
- 71.** $KMnO_4$ में $10^{-6} \text{ cm}^3 \text{ mol}^{-1}$ कोटि की प्रेक्षित अनुचुम्बकीय सुग्राहिता जिस कारण से है, वह है
- बेतरतीब स्पिन सरेखण
 - प्रतिलोह चुम्बकीय विनिमय अन्योन्याक्रिया
 - अनुचुम्बकीय अशुद्धि
 - ताप स्वंत्र अनुचुम्बकत्व
- 71.** Paramagnetic susceptibility of the order of $10^{-6} \text{ cm}^3 \text{ mol}^{-1}$ observed for $KMnO_4$ is due to
- random spin alignment
 - antiferromagnetic exchange interaction
 - paramagnetic impurity
 - temperature independent paramagnetism
- 72.** मेटलोसीनो (a-c) में M-C आबन्ध लम्बाई का सही क्रम है।
- [Fe(η^5 -Cp)₂]
 - [Ni(η^5 -Cp)₂]
 - [Co(η^5 -Cp)₂]
- a > b > c**
 - b > c > a**
 - c > b > a**
 - a > c > b**
- 72.** Correct order of M-C bond length of metallocenes (a-c)
- [Fe(η^5 -Cp)₂]
 - [Ni(η^5 -Cp)₂]
 - [Co(η^5 -Cp)₂] is
- a > b > c**
 - b > c > a**
 - c > b > a**
 - a > c > b**
- 73.** संक्रमण जिसके कारण संकुल $[Cr(bipyridyl)_3]^{3+}$, लाल स्फुर दीप्ति देता है, वह है
- ${}^4T_{2g} \leftarrow {}^4A_{2g}$
 - ${}^4T_{1g} \leftarrow {}^4A_{2g}$
 - ${}^4A_{2g} \leftarrow {}^2E_g$
 - ${}^2E_g \leftarrow {}^4A_{2g}$
- 73.** Complex $[Cr(bipyridyl)_3]^{3+}$, shows red phosphorescence due to transition
- ${}^4T_{2g} \leftarrow {}^4A_{2g}$
 - ${}^4T_{1g} \leftarrow {}^4A_{2g}$
 - ${}^4A_{2g} \leftarrow {}^2E_g$
 - ${}^2E_g \leftarrow {}^4A_{2g}$
- 74.** कार्बोनिल फ्लूओराइड के लिए आबन्ध कोण तथा आबन्ध लम्बाई के संदर्भ में सही विकल्प चुनिए।
- $\angle F-C-F > \angle F-C-O$ तथा C-F > C-O
 - $\angle F-C-F > \angle F-C-O$ तथा C-F < C-O
 - $\angle F-C-F < \angle F-C-O$ तथा C-F > C-O
 - $\angle F-C-F < \angle F-C-O$ तथा C-F < C-O
- 74.** Choose the correct option for carbonyl fluoride with respect to bond angle and bond length
- $\angle F-C-F > \angle F-C-O$ and C-F > C-O
 - $\angle F-C-F > \angle F-C-O$ and C-F < C-O

3. $\angle F-C-F < \angle F-C-O$ and $C-F > C-O$
 4. $\angle F-C-F < \angle F-C-O$ and $C-F < C-O$
75. द्रव BrF_3 में निम्नलिखित में से कौन सा/से AsF_5 से अभिक्रिया करता है/करते हैं?
 1. XeF_6 केवल 2. XeF_6 तथा XeF_4
 3. XeF_6 तथा XeF_2 4. XeF_4 तथा XeF_2
75. Which of the following react(s) with AsF_5 in liquid BrF_3 ?
 1. XeF_6 only 2. XeF_6 and XeF_4
 3. XeF_6 and XeF_2 4. XeF_4 and XeF_2
76. अणु $Ph_3P\cdot^{11}BH_3$ के लिए 1H तथा ^{11}B NMR स्पेक्ट्रम में BH_3 भाग द्वारा दर्शायी गयी लाइनों की संख्या है क्रमशः: [$I(^{11}B) = 3/2$; $I(^{31}P) = 1/2$]
 1. 8 तथा 8. 2. 4 तथा 8.
 3. 3 तथा 6. 4. 6 तथा 3.
76. The numbers of lines shown by the BH_3 part of the molecule $Ph_3P\cdot^{11}BH_3$ in the 1H and ^{11}B NMR spectra are, respectively [$I(^{11}B) = 3/2$; $I(^{31}P) = 1/2$]
 1. 8 and 8. 2. 4 and 8.
 3. 3 and 6. 4. 6 and 3.
77. Fe की उपस्थिति वाले नमूनों का मॉसबौर स्पेक्ट्रम रिकार्ड करने के लिए एक स्रोत 'X' का उपयोग किया जाता है। X, न्यूक्लीयर रूपान्तरण (Y) के पश्चात् γ -विकिरण देता है जिसका मॉसबौर स्पेक्ट्रोमिती में उपयोग करते हैं। X तथा Y के क्रमशः:
 1. ^{57}Fe , β -उत्सर्जन
 2. ^{57}Co , β - उत्सर्जन
 3. ^{57}Co , e^- प्रग्रहण
 4. ^{57}Fe , e^- प्रग्रहण
77. To record Mössbauer spectrum of Fe containing samples, a source 'X' is used. X after a nuclear transformation (Y), gives γ -radiation used in Mössbauer spectroscopy. X and Y respectively, are
 1. ^{57}Fe , β -emission
 2. ^{57}Co , β -emission
 3. ^{57}Co , e^- capture
 4. ^{57}Fe , e^- capture.
78. $Al(BH_4)_3$ में उपस्थित 3c-2e आबन्धों की संख्या है
 1. चार 2. तीन
 3. छः 4. शून्य
78. The number of 3c-2e bonds present in $Al(BH_4)_3$ is
 1. four 2. three
 3. six 4. zero
79. एक 100 mL विलयन जो Bi(III) तथा Cu(II) में से प्रत्येक के लिए 2.5×10^{-3} M है, का 745 nm पर 0.1 M EDTA से प्रकाशमापीय अनुमापन किया गया। इस अनुमापन के लिए सही कथनों को पहिचानिए
 A. EDTA विलयन का उपयोग हुआ कुल आयतन 5 mL है।
 B. 3 mL EDTA की Bi(III) से संकुल बनाने के लिए तथा 2 mL की Cu(II) के लिए आवश्यकता होती है।
 C. प्रत्येक धातु आयन के लिए 2.5 mL EDTA का उपयोग होता है।
 D. अनुमापन वकृ में प्रथम ब्रेक Cu(II) के लिए होता है।
 सही कथन है
 1. A तथा B 2. A तथा C
 3. A, B तथा C 4. B, C तथा D
79. A 100 mL solution of 2.5×10^{-3} M in Bi(III) and Cu(II) each, is photometrically titrated at 745 nm with 0.1 M EDTA solution. Identify correct statements for this titration.
 A. Total volume of EDTA solution used is 5 mL
 B. 3 mL of EDTA is required to complex Bi(III) and 2 mL for Cu(II)
 C. 2.5 mL of EDTA is used for each metal ion
 D. First break in titration curve is for Cu(II)
 Correct statements are
 1. A and B 2. A and C
 3. A, B and C 4. B, C and D
80. निम्नलिखित अभिक्रियाओं पर विचार कीजिए?
 A $NOCl + Sn \xrightarrow{N_2O_4}$
 B $NOCl + AgNO_3 \longrightarrow$
 C $NOCl + BrF_3 \longrightarrow$
 D $NOCl + SbCl_5 \longrightarrow$
 अभिक्रियाएँ जिनका मुख्य उत्पाद $[NO]^{+}$ है, वह हैं
 1. A तथा B 2. C तथा D
 3. A तथा C 4. B तथा D

80. Consider the following reactions:



Reactions which will give $[\text{NO}]^+$ as a major product are:

- | | |
|------------|------------|
| 1. A and B | 2. C and D |
| 3. A and C | 4. B and D |

81. संकुल जो चुम्बकीय आघूर्ण में आर्बिटल योगदान दर्शाता है, वह है
 1. $[\text{Cu}(\text{H}_2\text{O})_6]^{2+}$ 2. $[\text{Ni}(\text{H}_2\text{O})_6]^{2+}$
 3. $[\text{Co}(\text{H}_2\text{O})_6]^{2+}$ 4. $[\text{Cr}(\text{H}_2\text{O})_6]^{2+}$

81. The complex that shows orbital contribution to the magnetic moment, is
 1. $[\text{Cu}(\text{H}_2\text{O})_6]^{2+}$ 2. $[\text{Ni}(\text{H}_2\text{O})_6]^{2+}$
 3. $[\text{Co}(\text{H}_2\text{O})_6]^{2+}$ 4. $[\text{Cr}(\text{H}_2\text{O})_6]^{2+}$

82. KF, SnF_4 तथा SbF_5 , विलेयों में से जो BrF_3 , में BrF_4^- की सांद्रता बढ़ा देता है/देते हैं, वह है/है
 1. KF केवल
 2. KF तथा SnF_4
 3. SnF_4 तथा SbF_5
 4. KF, SnF_4 तथा SbF_5

82. Among KF, SnF_4 and SbF_5 , solute(s) that increase(s) the concentration of BrF_4^- in BrF_3 , is/are
 1. KF only
 2. KF and SnF_4
 3. SnF_4 and SbF_5
 4. KF, SnF_4 and SbF_5

83. ^{10}B के एक नमूने को लगातार $10^{16} \text{ m}^2\text{s}^{-1}$ मंदगति के न्यूट्रान फ्लक्स में खुला छोड़ने पर, इसका 3 % संहति अंश $3 \times 10^7 \text{ s}$ में अदृश्य हो जाता है। ^{10}B के लिए न्यूट्रान अभिग्रहण अनुप्रस्थ परिच्छेद (barns में) है।
 1. 1000 2. 3000
 3. 10,000 4. 30,000

83. On continuous exposure of ^{10}B sample to a slow neutron flux of $10^{16} \text{ m}^2\text{s}^{-1}$, its 3 % weight fraction disappears in $3 \times 10^7 \text{ s}$. Cross section for neutron capture (in barns) by ^{10}B is

- | | |
|-----------|-----------|
| 1. 1000 | 2. 3000 |
| 3. 10,000 | 4. 30,000 |

84. $[\text{Ru}(\eta^4\text{-C}_8\text{H}_8)(\text{CO})_3]$ के लिए 23°C पर, ^1H NMR स्पेक्ट्रम एक तीक्ष्ण सिंगल लाइन का होता है। निम्न ताप (-140°C) पर इसके स्पेक्ट्रम में प्रेक्षित सिग्नलों की संख्या है
 1. 8 2. 6
 3. 4 4. 2

84. The ^1H NMR spectrum of $[\text{Ru}(\eta^4\text{-C}_8\text{H}_8)(\text{CO})_3]$ at 23°C consists of a sharp single line. The number of signals observed at low temperature (-140°C) in its spectrum is
 1. 8 2. 6
 3. 4 4. 2

85. यौगिकों $\text{C}_2\text{B}_3\text{H}_5$, $\text{C}_2\text{B}_4\text{H}_6$, तथा B_5H_9 में उपस्थित कंकाली इलेक्ट्रॉनों की संख्यायें हैं क्रमशः
 1. 10, 12 तथा 12 2. 12, 14 तथा 14
 3. 10, 12 तथा 14 4. 12, 14 तथा 12

85. The numbers of skeletal electrons present in the compounds $\text{C}_2\text{B}_3\text{H}_5$, $\text{C}_2\text{B}_4\text{H}_6$, and B_5H_9 are, respectively,
 1. 10, 12 and 12 2. 12, 14 and 14
 3. 10, 12 and 14 4. 12, 14 and 12

86. $\text{VO}(\text{acac})_2$ [वैनेडियम पर ज्यामिती वर्ग पिरैमिडीय] के 77 K पर लिए गए EPR स्पेक्ट्रम के लिए [$I(^5\text{V}) = 7/2$] सही कथनों को पहचानिए।
 A. इसमें g के 2 मान होते हैं।
 B. इसमें केवल 8 लाइनें होती हैं।
 C. इसके g का केवल एक मान होता है।
 D. इसमें दो पैर्टन होते हैं, जिसमें से प्रत्येक में 8 लाइनें होती हैं।
 सही कथन हैं।

- | | |
|------------|------------|
| 1. A तथा D | 2. A तथा C |
| 3. B तथा C | 4. B तथा D |

86. Identify correct statements for the EPR spectrum of $\text{VO}(\text{acac})_2$ [with square pyramidal geometry at vanadium] at 77 K [$I(^5\text{V}) = 7/2$].
 A. It has two g values.
 B. It has 8 lines only.
 C. It has one g value.
 D. It has two patterns of 8 lines each.

Correct statements are

1. A and D
2. A and C
3. B and C
4. B and D

87. Ce^{3+} ($4f^1$) तथा Pr^{3+} ($4f^2$) के लिए g के मान हैं

क्रमशः:

1. $3/7$ तथा $2/5$
2. $5/7$ तथा $4/5$
3. $6/7$ तथा $3/5$
4. $6/7$ तथा $4/5$

87. The g values for Ce^{3+} ($4f^1$) and Pr^{3+} ($4f^2$) are, respectively

1. $3/7$ and $2/5$
2. $5/7$ and $4/5$
3. $6/7$ and $3/5$
4. $6/7$ and $4/5$

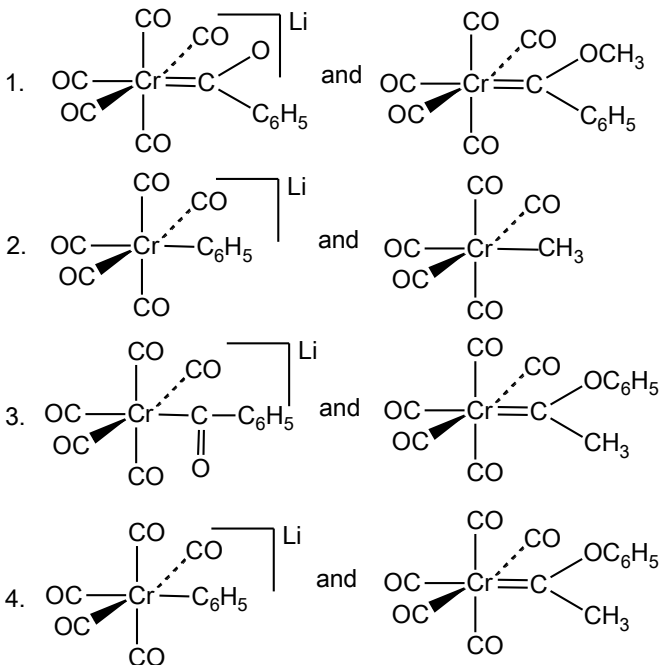
88. एक एकलकी Cu(II) संकुल का कमरे के ताप पर चुम्बकीय आघूर्ण (μ_{eff} BM में) 1.73 से अधिक है। जिस व्यंजक से इसकी व्याख्या की जा सकती है, वह है

1. $\mu_{\text{eff}} = \mu_s (1 - \frac{\alpha\lambda}{4})$
2. $\mu_{\text{eff}} = \sqrt{n(n+2)}$
3. $\mu_{\text{eff}} = \sqrt{4s(s+1) + L(L+1)}$
4. $\mu_{\text{eff}} = g\sqrt{J(J+1)}$

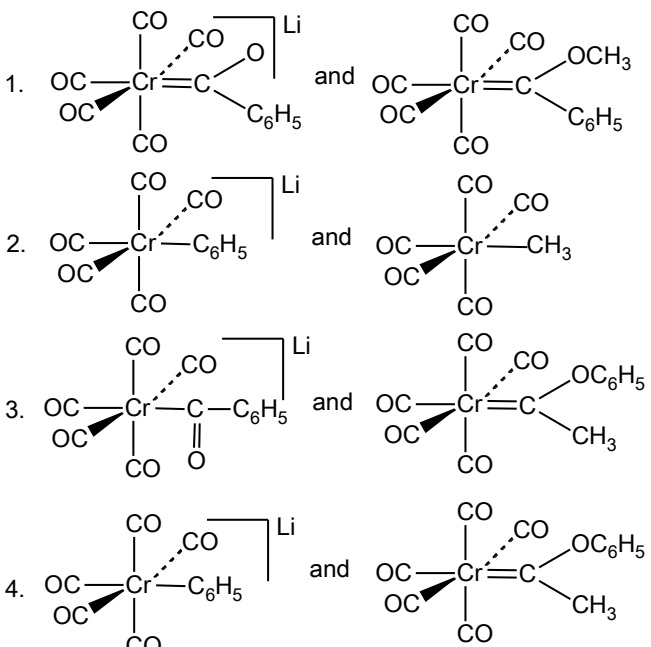
88. The room temperature magnetic moment (μ_{eff} in BM) for a monomeric Cu(II) complex is greater than 1.73 . This may be explained using the expression:

1. $\mu_{\text{eff}} = \mu_s (1 - \frac{\alpha\lambda}{4})$
2. $\mu_{\text{eff}} = \sqrt{n(n+2)}$
3. $\mu_{\text{eff}} = \sqrt{4s(s+1) + L(L+1)}$
4. $\mu_{\text{eff}} = g\sqrt{J(J+1)}$

89. Cr(CO)_6 की LiC_6H_5 से अभिक्रिया A देती है $[\text{Me}_3\text{O}][\text{BF}_4]$ से A अभिक्रिया करके B देता है। A तथा B की संरचनायें हैं क्रमशः:



89. Reaction of $\text{Cr}(\text{CO})_6$ with LiC_6H_5 gives A which reacts with $[\text{Me}_3\text{O}][\text{BF}_4]$ to give B. The structures of A and B respectively, are

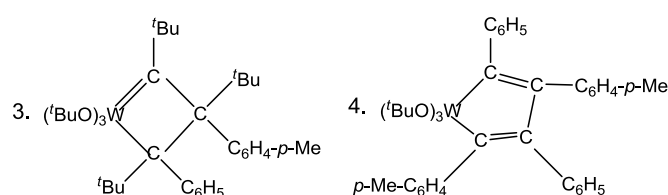
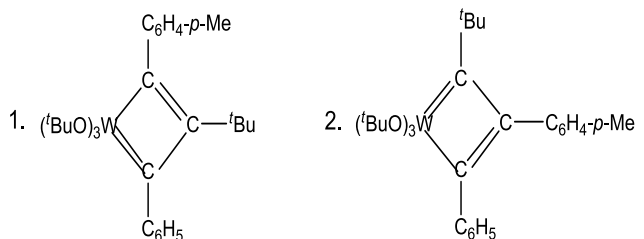


90. $[(\eta^5-\text{C}_5\text{H}_5)\text{Mo}(\text{CO})_3]_2$ के एक नमूने को गर्म करने पर $[(\eta^5-\text{C}_5\text{H}_5)\text{Mo}(\text{CO})_2]_2$ का विरचन CO के 2 तुल्यों के विलोपन के पश्चात् होता है। इस अभिक्रिया में Mo-Mo आबन्ध कोटि में जो परिवर्तन होता है, वह है

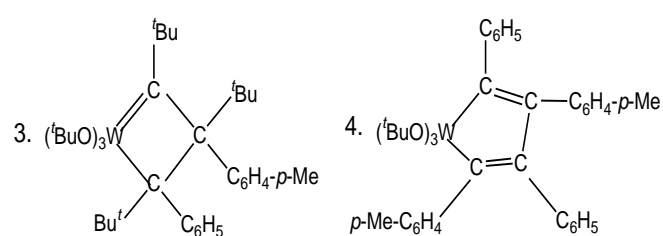
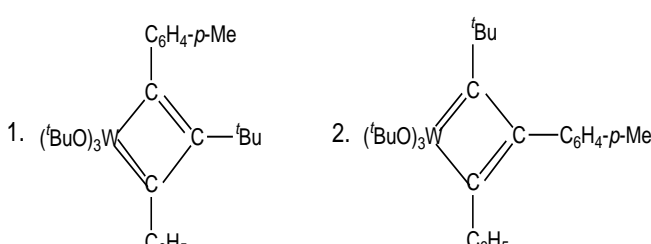
1. 2 से 3
2. 1 से 2
3. 1 से 3
4. 2 से 4

90. Heating a sample of $[(\eta^5\text{-C}_5\text{H}_5)\text{Mo}(\text{CO})_3]_2$ results in the formation of $[(\eta^5\text{-C}_5\text{H}_5)\text{Mo}(\text{CO})_2]_2$ with elimination of 2 equivalents of CO. The Mo–Mo bond order in this reaction changes from
 1. 2 to 3 2. 1 to 2
 3. 1 to 3 4. 2 to 4

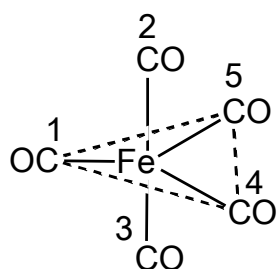
91. $\text{C}_6\text{H}_5\text{-C}\equiv\text{C-C}_6\text{H}_4\text{-}p\text{-Me}$ की $[({}^t\text{BuO})_3\text{W}\equiv\text{C-}{}^t\text{Bu}]$ से उत्प्रेरित स्वयं विनियम अभिक्रिया में सम्मिलित युक्ति युक्त मध्यवर्ती है।



91. A plausible intermediate involved in the self metathesis reaction of $\text{C}_6\text{H}_5\text{-C}\equiv\text{C-C}_6\text{H}_4\text{-}p\text{-Me}$ catalyzed by $[({}^t\text{BuO})_3\text{W}\equiv\text{C-}{}^t\text{Bu}]$ is

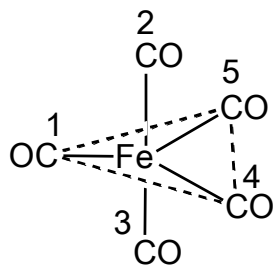


92. प्रवाही संरचना के $\text{Fe}(\text{CO})_5$ (संरचना निम्नलिखित है) के विलयन में अंकित CO गुणों का विनियम जिनके मध्य होगा वह है।



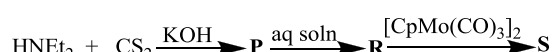
1. 2 तथा 5; 3 तथा 4
 2. 2 तथा 3; 4 तथा 5
 3. 2 तथा 3; 1 तथा 5
 4. 1 तथा 2; 4 तथा 5

92. For fluxional $\text{Fe}(\text{CO})_5$ (structure given below) in solution, the exchange of numbered CO groups will be between



1. 2 and 5; 3 and 4
 2. 2 and 3; 4 and 5
 3. 2 and 3; 1 and 5
 4. 1 and 2; 4 and 5

93. निम्नलिखित अभिक्रिया क्रम में



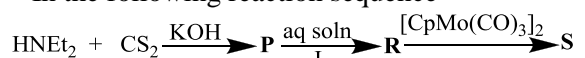
जहां dtc = डाइथोयोकार्बामेट तथा

tds = थाइयूरैम डाइसल्फाइड

P, R तथा S को पहचानिए। Cp = $\eta^5\text{-C}_5\text{H}_5$

	P	R	S
1.	$\text{Et}_2\text{dtc}^- \text{K}^+$	Et_4tds	$\text{CpMo}(\text{Et}_2\text{dtc})(\text{CO})_2$
2.	$\text{Et}\text{dtc}^- \text{K}^+$	Et_3tds	$\text{CpMo}(\text{Et}_3\text{dtc})(\text{CO})_2$
3.	$\text{Et}_4\text{dtc}^- \text{K}^+$	Et_2tds	$\text{CpMo}(\text{Et}_4\text{dtc})(\text{CO})$
4.	$\text{Et}\text{dtc}^- \text{K}^+$	Ettds	$\text{CpMo}(\text{Et}\text{dtc})(\text{CO})$

93. In the following reaction sequence

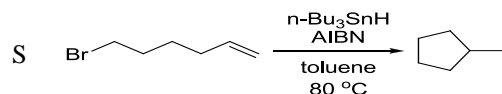


where dtc = dithiocarbamate and tds = thiuramdisulfide.

Identify P, R and S. Cp = $\eta^5\text{-C}_5\text{H}_5$

	P	R	S
1.	$\text{Et}_2\text{dtc}^- \text{K}^+$	Et_4tds	$\text{CpMo}(\text{Et}_2\text{dtc})(\text{CO})_2$
2.	$\text{Etdtc}^- \text{K}^+$	Et_3tds	$\text{CpMo}(\text{Et}_3\text{dtc})(\text{CO})_2$
3.	$\text{Et}_4\text{dtc}^- \text{K}^+$	Et_2tds	$\text{CpMo}(\text{Et}_4\text{dtc})(\text{CO})$
4.	$\text{Etdtc}^- \text{K}^+$	Ettds	$\text{CpMo}(\text{Etdtc})(\text{CO})$

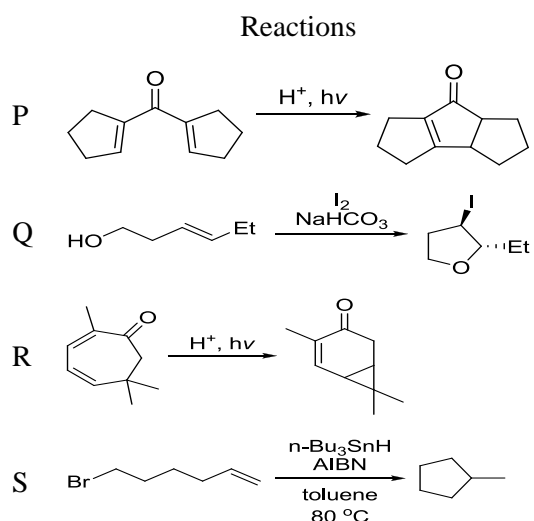
94. धातु आयन-पॉर्फिन संकुल में (धातु आयन वहन करने वाले कीलेट वलयों सहित) उपस्थित वलयों की संख्या और आकार का सही संयोग है
- चार 5-सदस्यीय तथा चार 6-सदस्यीय
 - दो 5-सदस्यीय तथा छः 6-सदस्यीय
 - छः 5-सदस्यीय तथा दो 6-सदस्यीय
 - पाँच 5-सदस्यीय तथा तीन 6-सदस्यीय
94. Correct combination of number and size of rings present in a metal ion-porphine complex (including metal ion bearing chelate rings) is
- four 5-membered and four 6-membered
 - two 5-membered and six 6-membered
 - six 5-membered and two 6-membered
 - five 5-membered and three 6-membered
95. मानव शरीर में *cis*-प्लैटिन जल अपघटित होकर डाइएक्वा संकुल देती है और DNA संरचना में परिवर्तन जिससे बन्धन करके करती है, वह है
- ग्वानीन बेस का N-परमाणु
 - साइटोसीन बेस का O- परमाणु
 - ऐडनीन बेस का N- परमाणु
 - थायमीन बेस का O- परमाणु
95. In human body *cis*-platin hydrolyzes to a diaqua complex and modifies the DNA structure by binding to
- N-atom of guanine base
 - O-atom of cytosine base
 - N-atom of adenine base
 - O-atom of thymine base
96. अभिक्रियाओं P-S का साइक्लीकरण के नामों I-IV के साथ सही मिलान है।



- साइक्लीकरणों के नाम :
- I. हैलो साइक्लीकरण
 - II. Nazarov साइक्लीकरण
 - III. मूलक साइक्लीकरण
 - IV. इलक्ट्रो साइक्लीकरण

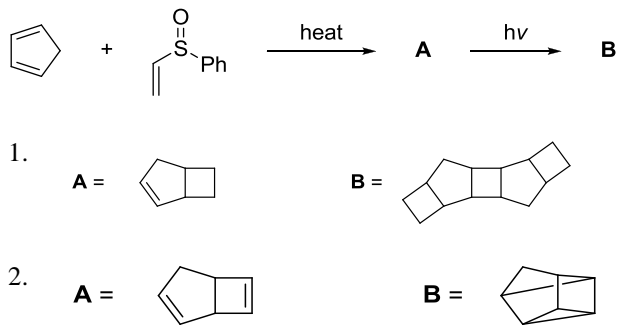
- P-IV; Q-I; R-II; S-III
- P-II; Q-I; R-IV; S-III
- P-IV; Q-II; R-III; S-I
- P-II; Q-I; R-III; S-IV

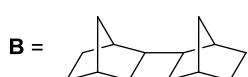
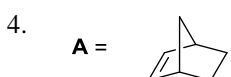
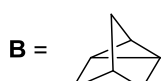
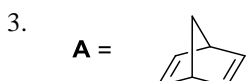
96. The correct match for the reactions P-S with the names of cyclizations I-IV is



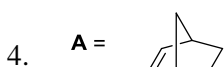
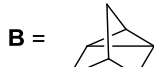
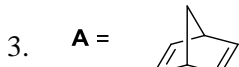
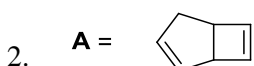
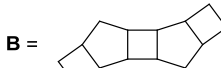
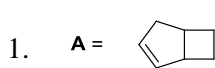
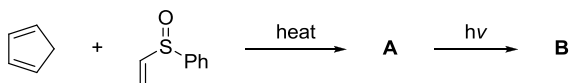
- Names of cyclizations:
- I. halocyclization
 - II. Nazarov cyclization
 - III. radical cyclization
 - IV. electrocyclization
- P-IV; Q-I; R-II; S-III
 - P-II; Q-I; R-IV; S-III
 - P-IV; Q-II; R-III; S-I
 - P-II; Q-I; R-III; S-IV

97. निम्नलिखित अभिक्रिया क्रम में उत्पन्न मुख्य उत्पाद **A** तथा **B** हैं

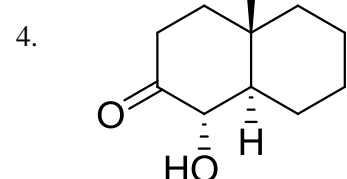
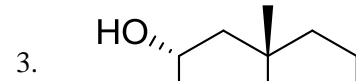
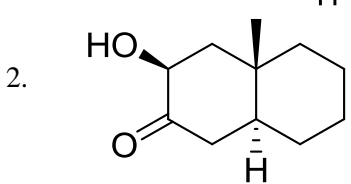
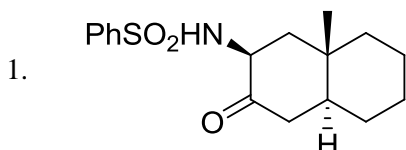
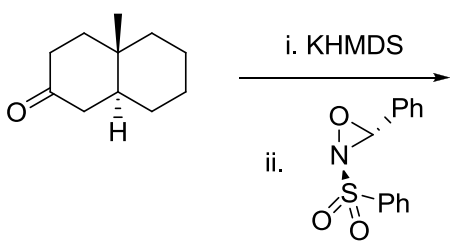




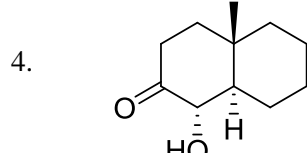
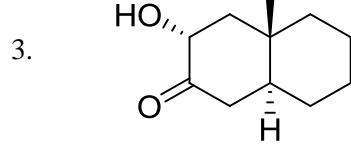
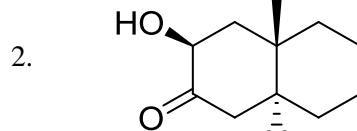
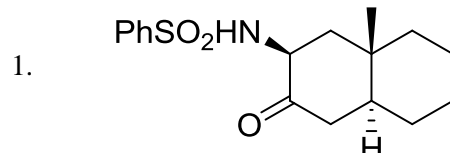
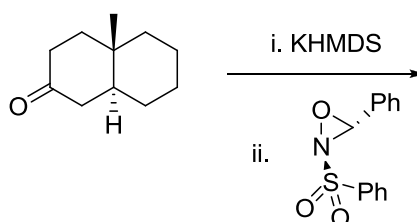
97. The major products **A** and **B** formed in the following reaction sequence are



98. निम्नलिखित अभिक्रिया में विरचित मुख्य उत्पाद है



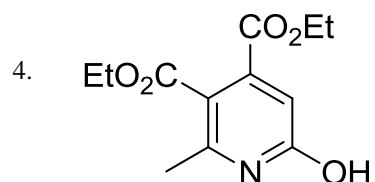
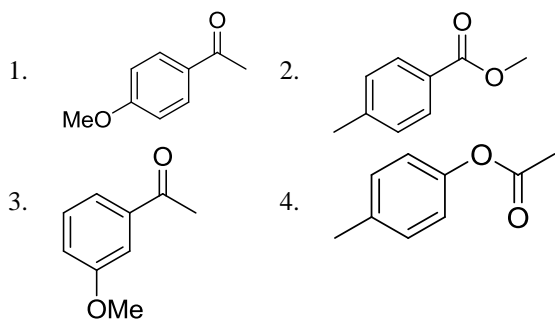
98. The major product formed in the following reaction is



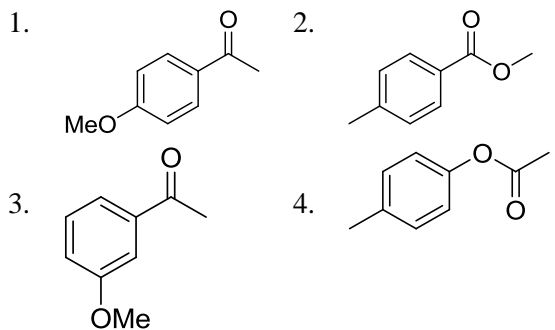
99. एक यौगिक निम्नलिखित स्पेक्ट्रम आंकड़े दर्शाता है। यौगिक की सही संरचना है

IR: 1690 cm^{-1}

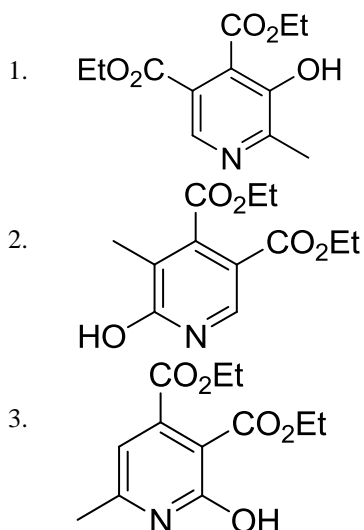
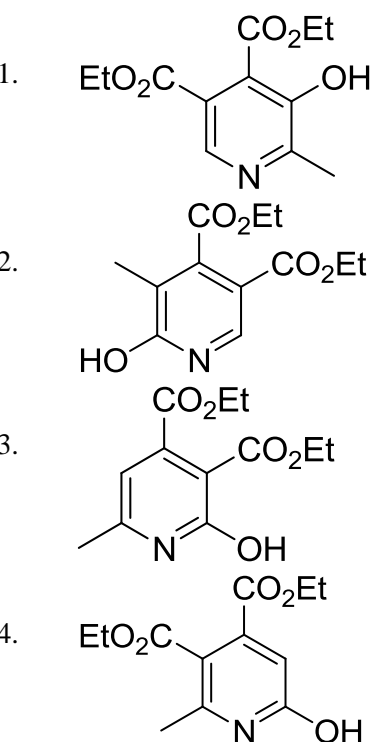
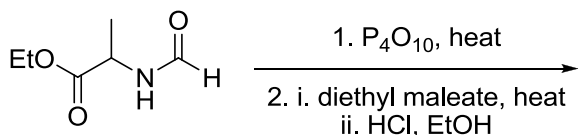
$^1\text{H NMR}$: δ 2.5 (s, 3H), 3.8 (s, 3H), 6.9 (d, $J = 8$ Hz, 2H), 7.8 (d, $J = 8$ Hz, 2H) ppm $^{13}\text{C NMR}$: δ 197, 165, 130, 129, 114, 56, 26 ppm



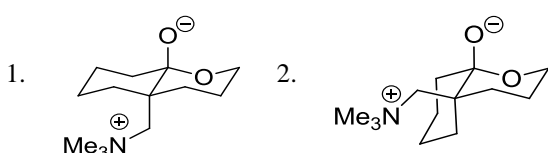
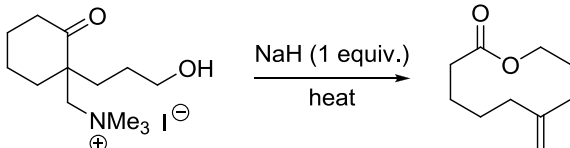
99. A compound displays the following spectral data. The correct structure of the compound is
 IR: 1690 cm^{-1}
 $^1\text{H NMR}$: δ 2.5 (s, 3H), 3.8 (s, 3H), 6.9 (d, $J = 8\text{ Hz}$, 2H), 7.8 (d, $J = 8\text{ Hz}$, 2H) ppm
 $^{13}\text{C NMR}$: δ 197, 165, 130, 129, 114, 56, 26 ppm

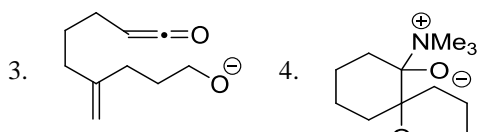


100. निम्नलिखित अभिक्रिया में विरचित मुख्य उत्पाद है

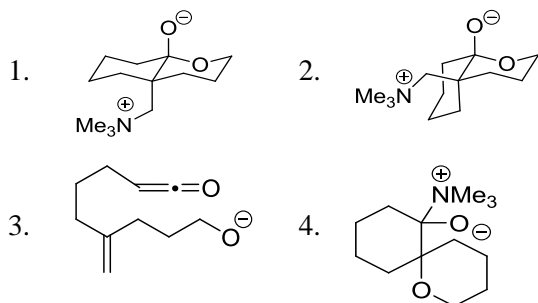
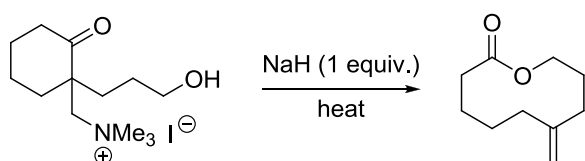


101. निम्नलिखित अभिक्रिया के उत्पाद को जो मध्यवर्ती देता है, उसकी सही संरचना है

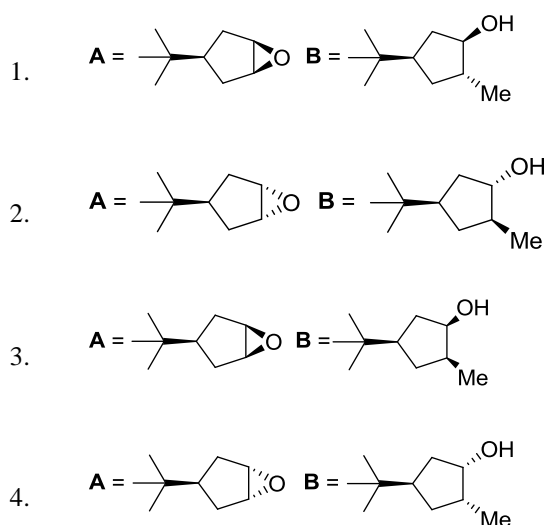
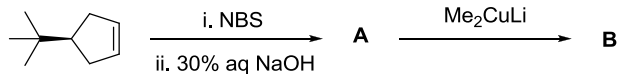




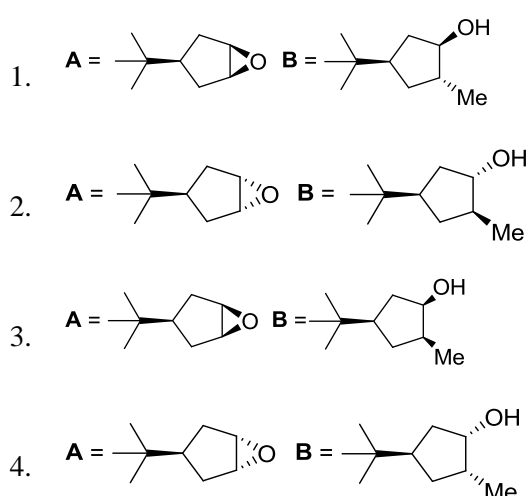
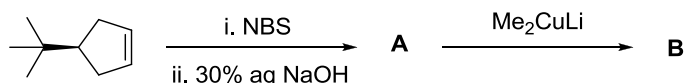
- 101.** The correct structure of the intermediate, which leads to the product in the following reaction is



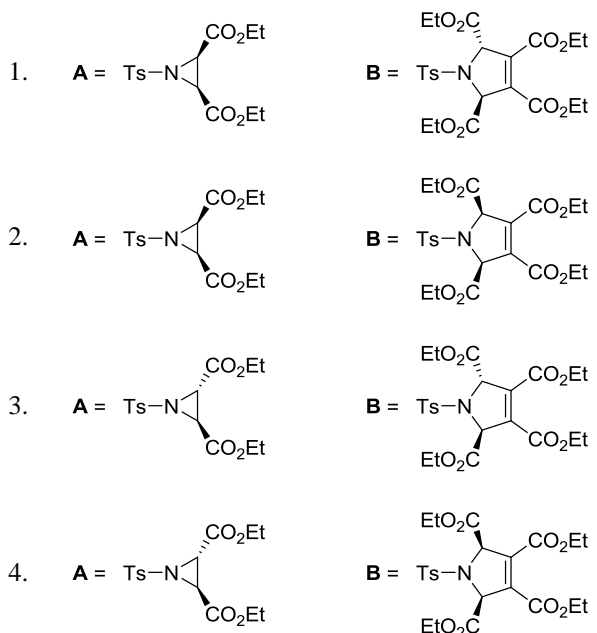
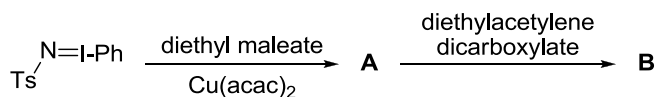
- 102.** निम्नलिखित अभिक्रिया क्रम में उत्पाद A तथा B हैं



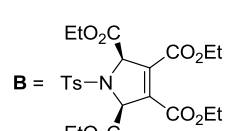
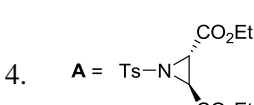
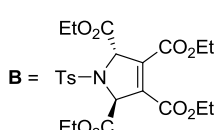
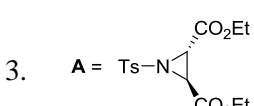
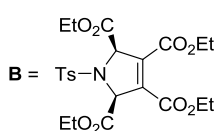
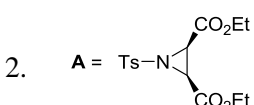
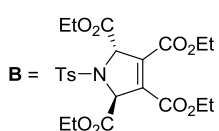
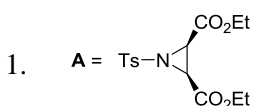
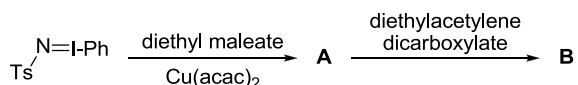
- 102.** The major products **A** and **B** in the following reaction sequence are



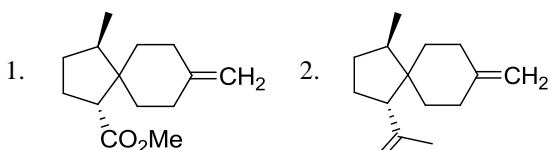
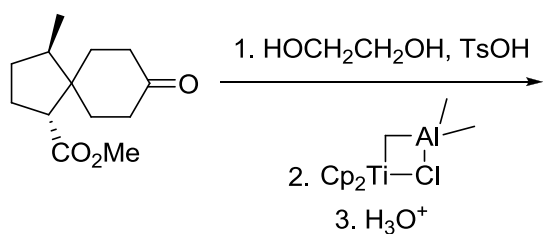
- 103.** निम्नलिखित अभिक्रिया क्रम में विरचित मुख्य उत्पाद A तथा B हैं



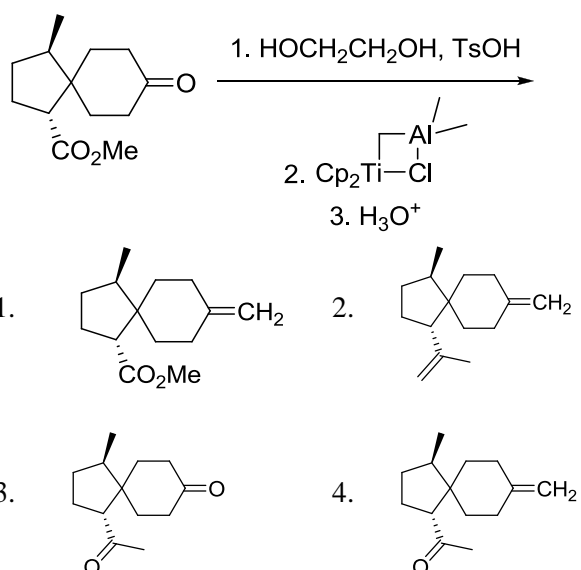
- 103.** The major products **A** and **B** formed in the following reaction sequence are



- 104.** निम्नलिखित अभिक्रिया क्रम में विरचित मुख्य उत्पाद हैं

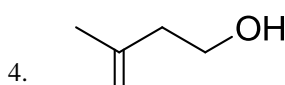
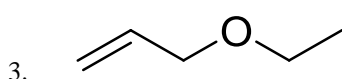
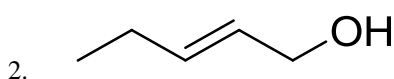
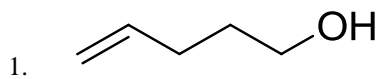


- 104.** The major product formed in the following reaction sequence is

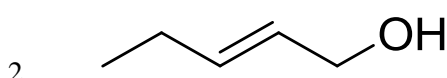
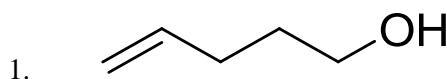


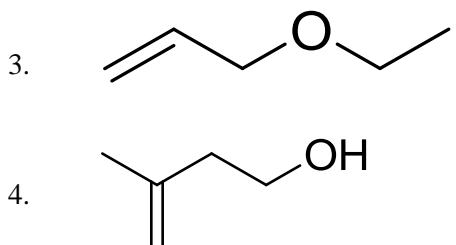
- 105.** निम्नलिखित ^{13}C NMR DEPT-135 आंकड़े दर्शाने वाले यौगिक की सही संरचना है।

^{13}C NMR DEPT-135: ऋणात्मक शीर्ष δ 30.2, 31.9, 61.8, 114.7 ppm पर; धनात्मक शीर्ष 130.4 ppm पर

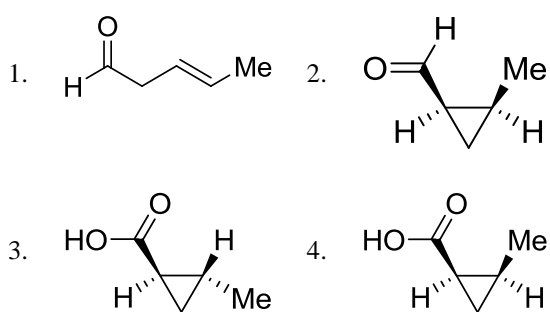
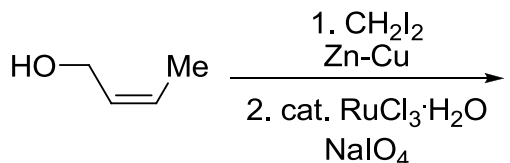


- 105.** The correct structure of the compound, which shows following ^{13}C NMR DEPT-135 data is
- ^{13}C NMR DEPT-135: negative peaks at δ 30.2, 31.9, 61.8, 114.7 ppm; positive peak at 130.4 ppm

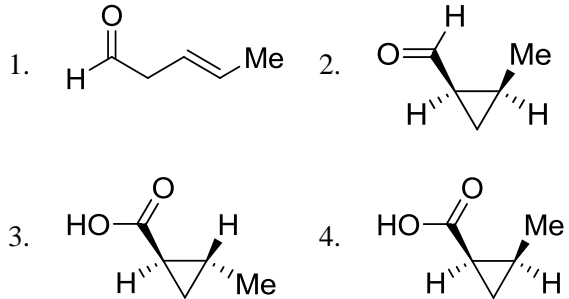
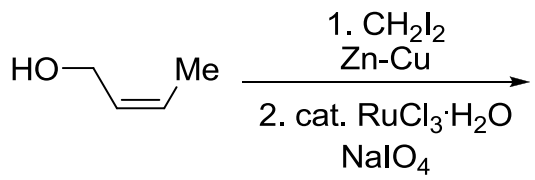




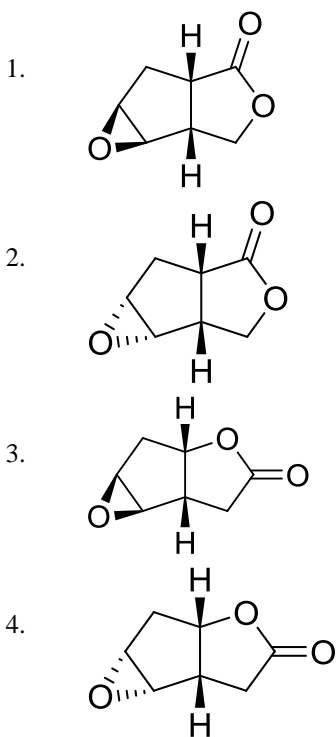
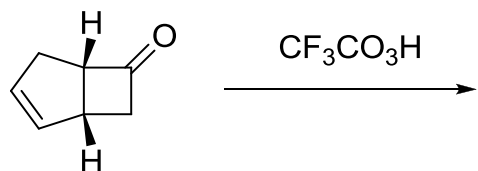
106. निम्नलिखित अभिक्रिया में उत्पन्न मुख्य उत्पाद है



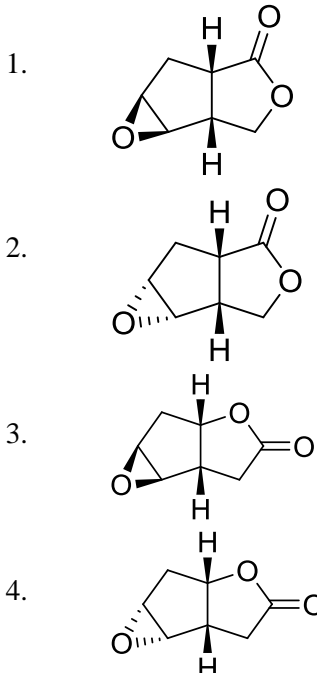
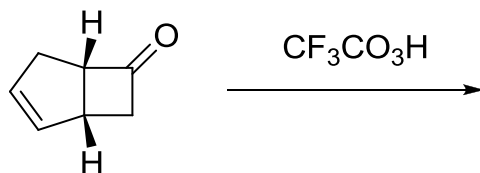
106. The major product formed in the following reaction is



107. निम्नलिखित अभिक्रिया में विरचित मुख्य उत्पाद है

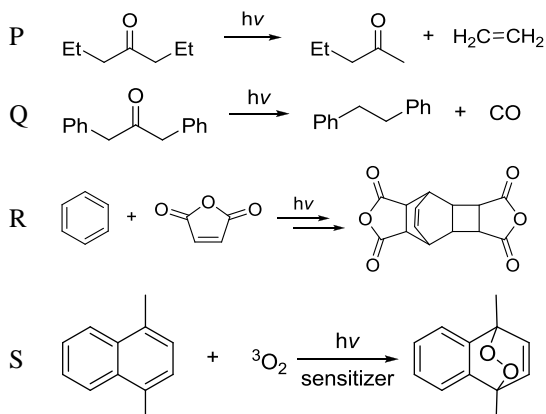


107. The major product formed in the following reaction is



108. निम्नलिखित रूपांतरणों P-S से प्रक्रमों I-IV का सही मिलान हैं

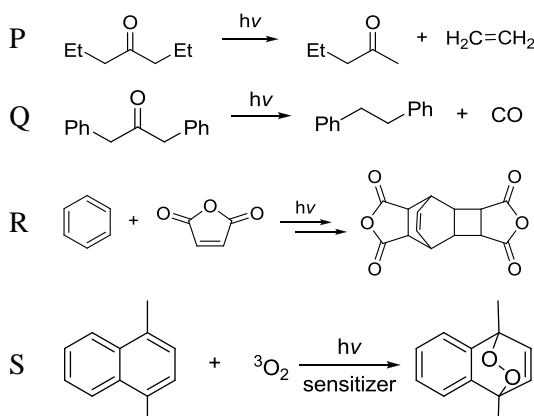
Reactions



- प्रक्रियाएँ : I. डील्स-ऐल्डर
 II. नौरिश टाइप I
 III. प्रकाशीय साइक्लो
 संकलन तत्प्रचात् डील्स-ऐल्डर
 IV. नौरिश टाइप II
1. P-II; Q-IV; R-III; S-I
 2. P-II; Q-IV; R-I; S-II
 3. P-IV; Q-II; R-III; S-I
 4. P-IV; Q-II; R-I; S-III

108. The correct match for the following transformations P-S with the processes I-IV is

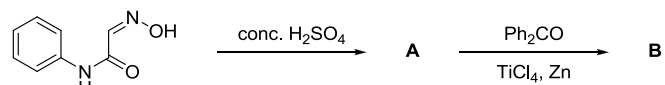
Reactions



- Processes: I. Diels-Alder
 II. Norrish Type I
 III. photocycloaddition followed by
 Diels-Alder
 IV. Norrish Type II

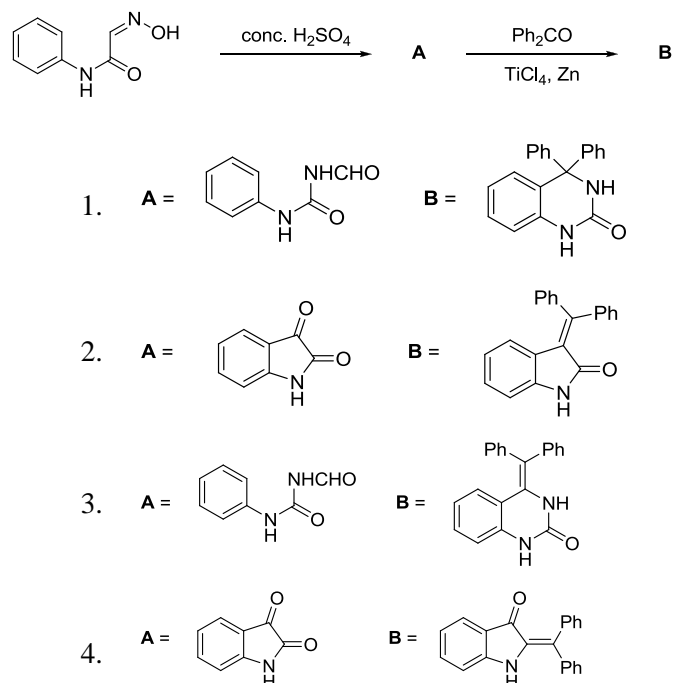
1. P-II; Q-IV; R-III; S-I
2. P-II; Q-IV; R-I; S-II
3. P-IV; Q-II; R-III; S-I
4. P-IV; Q-II; R-I; S-III

109. निम्नलिखित अभिक्रिया क्रम में उत्पाद A तथा B हैं

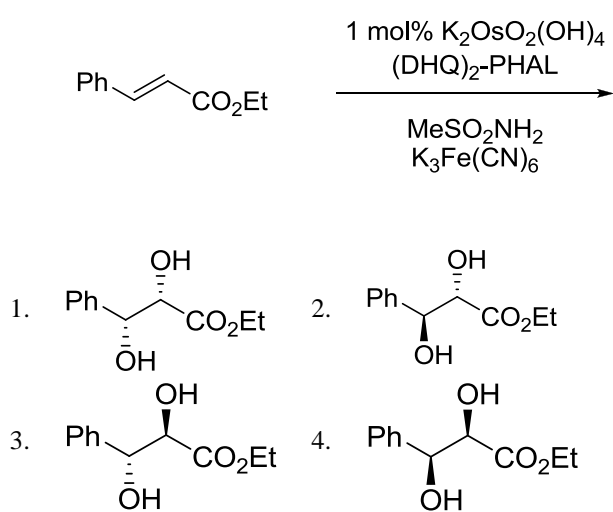


1. $\mathbf{A} = \begin{array}{c} \text{Ph}-\text{C}(=\text{O})-\text{NH}_2 \\ | \\ \text{Ph}-\text{C}(=\text{O})-\text{NH}-\text{Ph} \end{array}$ $\mathbf{B} = \begin{array}{c} \text{Ph}-\text{CH}(\text{Ph})-\text{NH}-\text{C}(=\text{O})-\text{NH}-\text{Ph} \\ | \\ \text{Ph}-\text{C}(=\text{O})-\text{NH}-\text{Ph} \end{array}$
2. $\mathbf{A} = \begin{array}{c} \text{Ph}-\text{C}(=\text{O})-\text{NH}-\text{Ph} \\ | \\ \text{Ph}-\text{C}(=\text{O})-\text{NH}-\text{Ph} \end{array}$ $\mathbf{B} = \begin{array}{c} \text{Ph}-\text{CH}(\text{Ph})-\text{NH}-\text{C}(=\text{O})-\text{NH}-\text{Ph} \\ | \\ \text{Ph}-\text{C}(=\text{O})-\text{NH}-\text{Ph} \end{array}$
3. $\mathbf{A} = \begin{array}{c} \text{Ph}-\text{C}(=\text{O})-\text{NH}_2 \\ | \\ \text{Ph}-\text{C}(=\text{O})-\text{NH}-\text{Ph} \end{array}$ $\mathbf{B} = \begin{array}{c} \text{Ph}-\text{CH}(\text{Ph})-\text{NH}-\text{C}(=\text{O})-\text{NH}-\text{Ph} \\ | \\ \text{Ph}-\text{C}(=\text{O})-\text{NH}-\text{Ph} \end{array}$
4. $\mathbf{A} = \begin{array}{c} \text{Ph}-\text{C}(=\text{O})-\text{NH}-\text{Ph} \\ | \\ \text{Ph}-\text{C}(=\text{O})-\text{NH}-\text{Ph} \end{array}$ $\mathbf{B} = \begin{array}{c} \text{Ph}-\text{CH}(\text{Ph})-\text{NH}-\text{C}(=\text{O})-\text{NH}-\text{Ph} \\ | \\ \text{Ph}-\text{C}(=\text{O})-\text{NH}-\text{Ph} \end{array}$

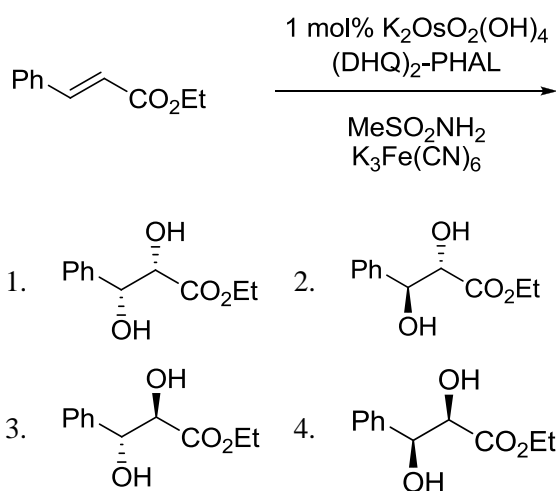
109. The major products A and B in the following reaction sequence are



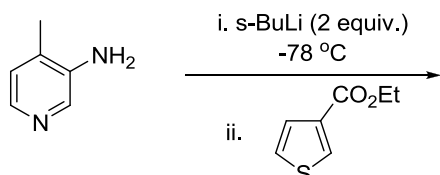
110. निम्नलिखित अभिक्रिया में विरचित मुख्य उत्पाद है



110. The major product formed in the following reaction is

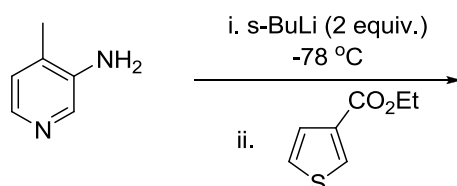


111. निम्नलिखित अभिक्रिया में विरचित मुख्य उत्पाद है



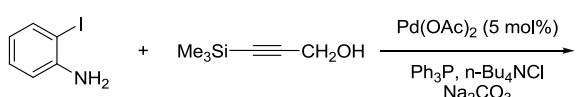
1.
 2.

111. The major product formed in the following reaction is



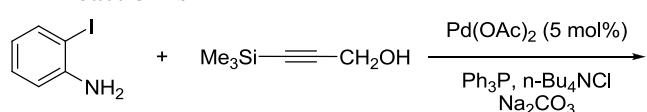
1.
 2.
 3.
 4.

112. निम्नलिखित अभिक्रिया में विरचित मुख्य उत्पाद है



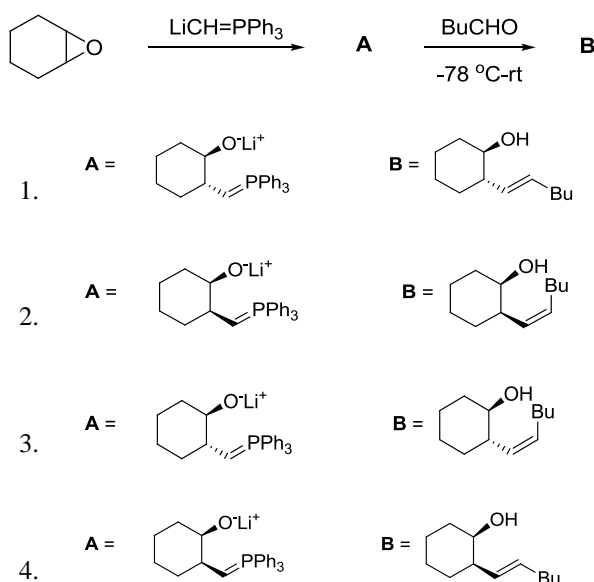
1.
 2.
 3.
 4.

- 112.** The major product formed in the following reaction is

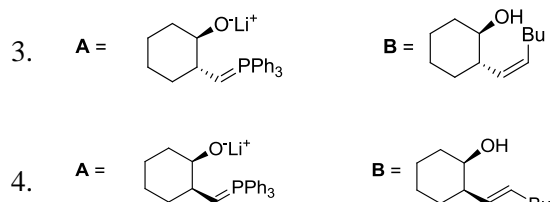
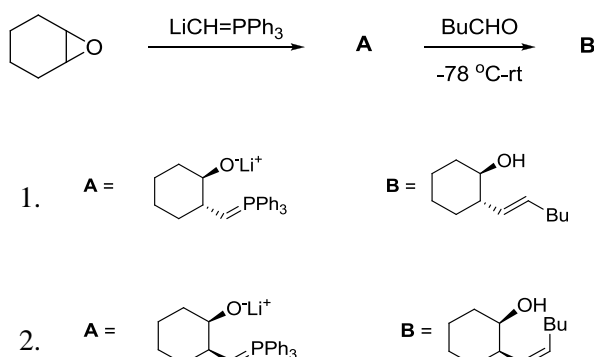


- 1.
- 2.
- 3.
- 4.

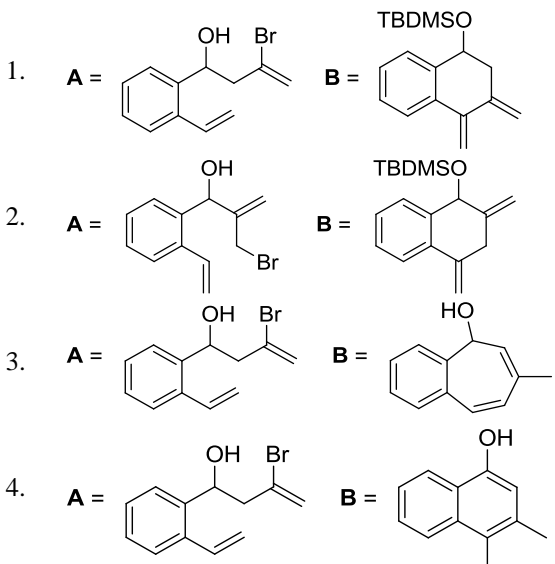
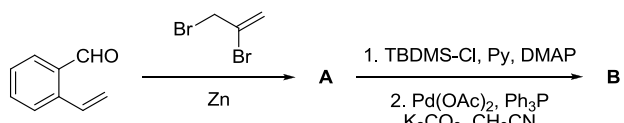
- 113.** निम्नलिखित अभिक्रिया क्रम में मध्यवर्ती A तथा मुख्य उत्पाद B हैं



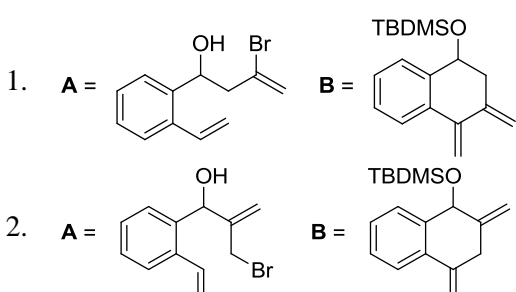
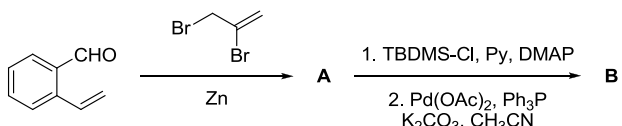
- 113.** The intermediate **A** and the major product **B** in the following reaction sequence are

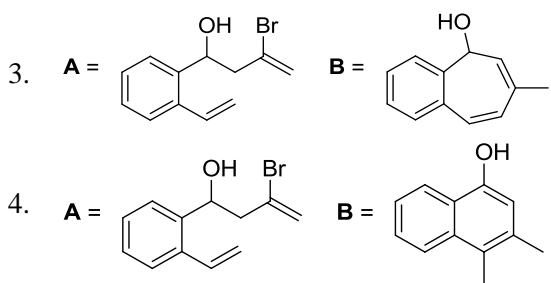


- 114.** निम्नलिखित अभिक्रिया क्रम के लिए मुख्य उत्पाद A तथा B हैं

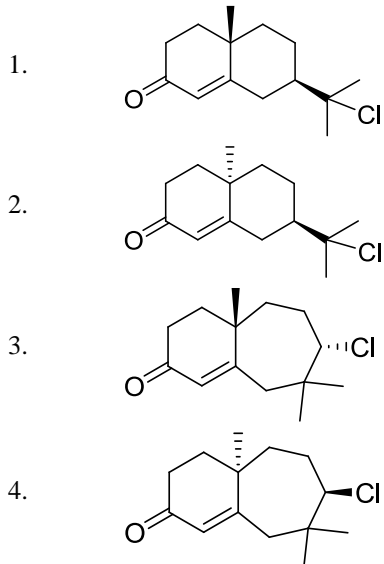
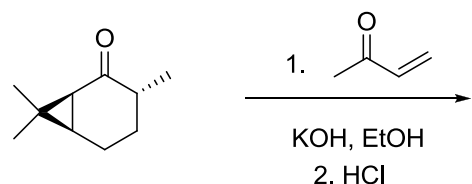


- 114.** The major products **A** and **B** in the following reaction sequence are

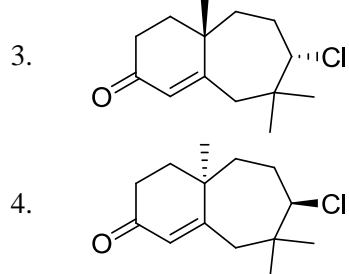
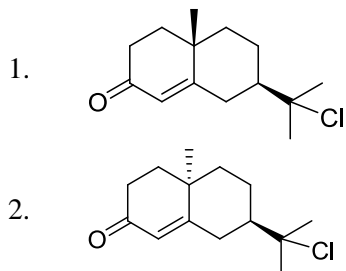
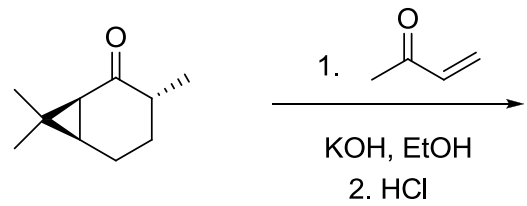




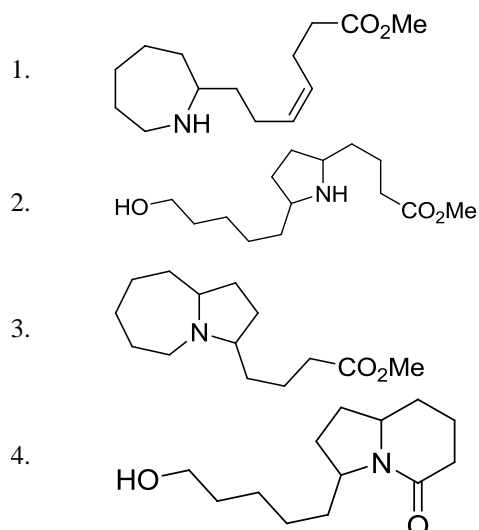
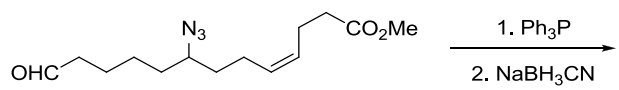
115. निम्नलिखित अभिक्रिया क्रम में विरचित मुख्य उत्पाद है



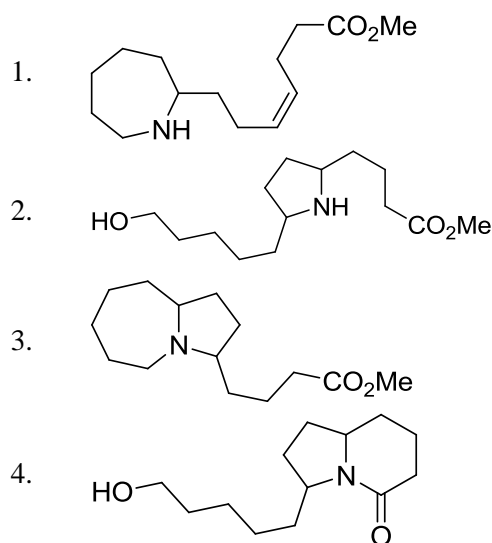
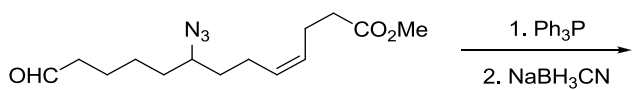
115. The major product formed in the following reaction sequence is



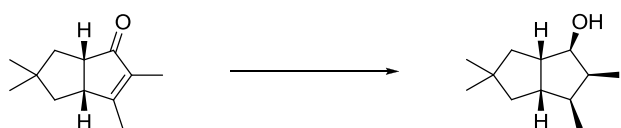
116. निम्नलिखित अभिक्रिया में मुख्य उत्पाद है



116. The major product in the following reaction is

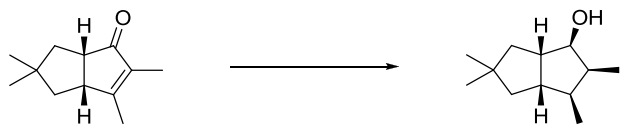


117. निम्नलिखित अभिक्रिया को प्रभावी करने के लिए अभिकर्मकों का सही संयोजन है



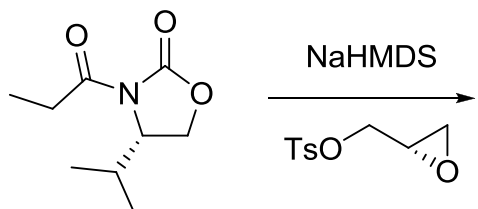
1. i. NaBH₄, CeCl₃, MeOH, 0 °C;
ii. H₂, [Ir(COD)(py)P(Cy)₃]PF₆;
iii. Ph₃P, PhCO₂H, DEAD; iv. LiAlH₄.
2. i. Li, द्रव NH₃;
ii. H₂, [Ir(COD)(py)P(Cy)₃]PF₆;
iii. Ph₃P, PhCO₂H, DIAD;
iv. NaBH₄, CeCl₃, MeOH, 0 °C.
3. i. H₂, Pd/C; ii. LiAlH₄, -78 °C.
4. i. H₂, Pd/C; ii. Li, द्रव NH₃.

117. The correct reagent combination to effect the following reaction is



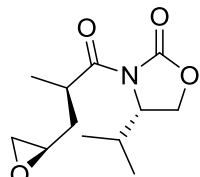
1. i. NaBH₄, CeCl₃, MeOH, 0 °C;
ii. H₂, [Ir(COD)(py)P(Cy)₃]PF₆;
iii. Ph₃P, PhCO₂H, DEAD;
iv. LiAlH₄.
2. i. Li, liquid NH₃;
ii. H₂, [Ir(COD)(py)P(Cy)₃]PF₆;
iii. Ph₃P, PhCO₂H, DIAD;
iv. NaBH₄, CeCl₃, MeOH, 0 °C.
3. i. H₂, Pd/C; ii. LiAlH₄, -78 °C.
4. i. H₂, Pd/C; ii. Li, liquid NH₃.

118. निम्नलिखित अभिक्रिया में विरचित मुख्य उत्पाद है

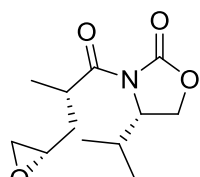


- 1.

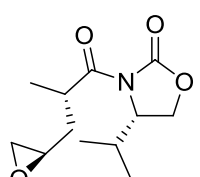
2.



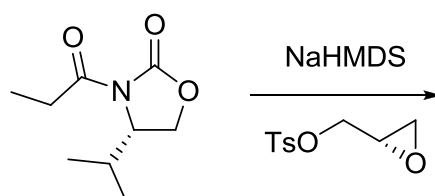
3.



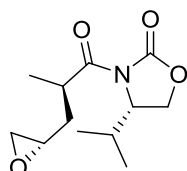
4.



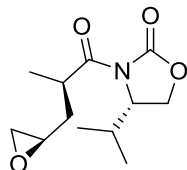
118. The major product formed in the following reaction is



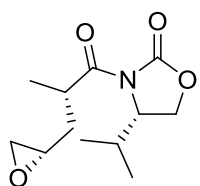
1.



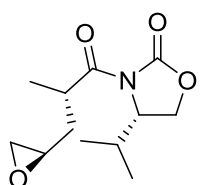
2.



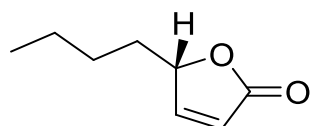
3.



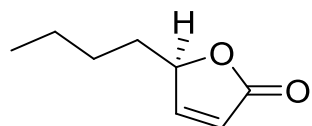
4.



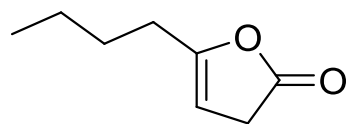
1.



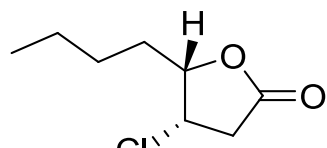
2.



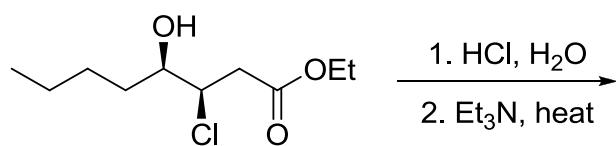
3.



4.

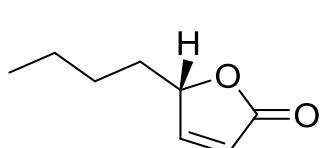


119. निम्नलिखित अभिक्रिया में विरचित मुख्य उत्पाद है

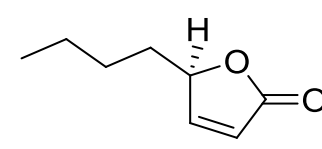


120. निम्नलिखित अभिक्रिया क्रम में मध्यवर्ती A तथा मुख्य उत्पाद B की संरचनायें हैं

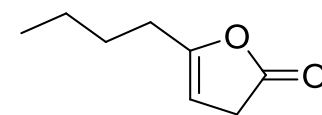
1.



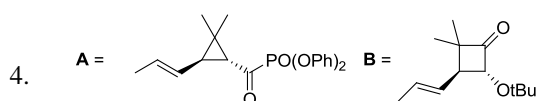
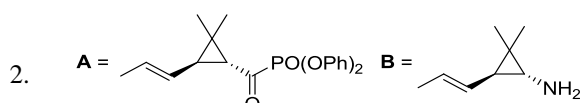
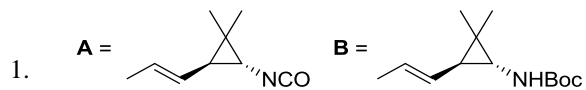
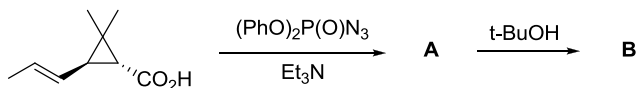
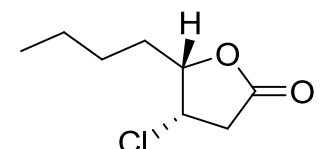
2.



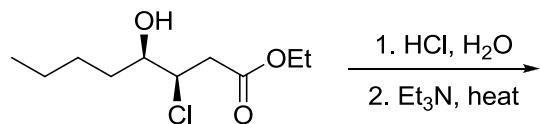
3.



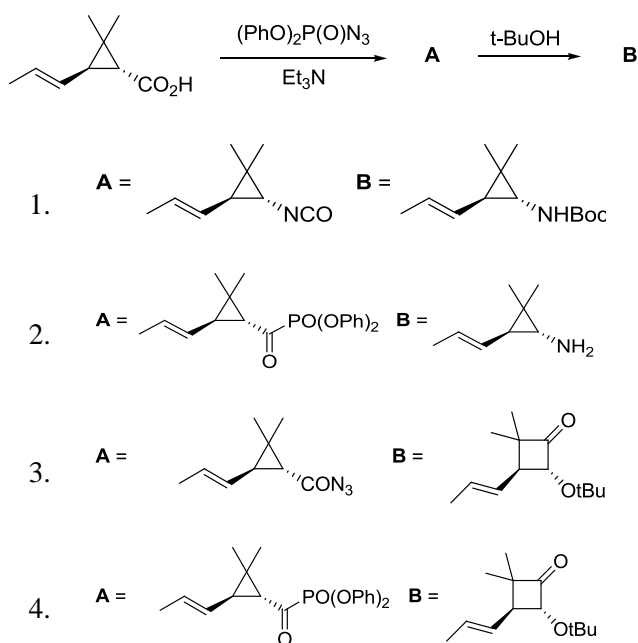
4.



119. The major product formed in the following reaction is



120. Structures of the intermediate **A** and the major product **B** in the following reaction sequence are



121. एक आदर्श गैस के लिए एक निश्चित आयतन V में, एक कण स्थानांतरित विभाजन फलन (f) तापीय ये ब्राग्ली तरंग दैर्घ्य λ_{th} पर इस प्रकार निर्भर करता है, कि: $f \sim (\lambda_{th})^n$ यहां

1. $n = 3$ 2. $n = 1$
3. $n = -1$ 4. $n = -3$

121. The single-particle translational partition function (f) for an ideal gas in a fixed volume V depends on the thermal de Broglie wavelength λ_{th} as $f \sim (\lambda_{th})^n$ where

1. $n = 3$ 2. $n = 1$
3. $n = -1$ 4. $n = -3$

122. हाइड्रोक्सी अम्ल का संघनन एक पॉलीएस्टर उत्पन्न करता है जिसके दोनों छोर पर बंध प्रायिकता p है। k -mer चेन विरचन के लिए मोल भिन्न है

1. p^k 2. $p(1-p)^{k-1}$
3. $p^{k-1}(1-p)$ 4. p^{k-1}

122. The condensation of a hydroxy acid produces a polyester with the probability of linkage at both ends being p . The mole fraction of k -mer chain formation is

1. p^k 2. $p(1-p)^{k-1}$
3. $p^{k-1}(1-p)$ 4. p^{k-1}

123. मान लीजिए कि बढ़ती ऊर्जा के क्रम में $\psi_1, \psi_2, \psi_3 \dots$ एक अप्रसंवादी दोलित्र के तरंग फलन हैं और $\phi_0, \phi_1, \phi_2, \dots$ एक सरल आवर्ती दोलक के तरंग फलन हैं। पादांक दोनों फलनों में कम्पन क्वान्टम संख्या दर्शाते हैं। दिया है

$$\begin{aligned}\psi_0 &= a_1\phi_0 + a_2\phi_2 + a_3\phi_4 \\ \psi_1 &= b_1\phi_0 + b_2\phi_4 + b_3\phi_6 \\ \psi_2 &= c_1\phi_1 + c_2\phi_4 \\ \psi_3 &= d_1\phi_3 + d_2\phi_5\end{aligned}$$

निम्नलिखित में से निषिद्ध (FORBIDDEN) विद्युत द्विध्रुव संक्रमण है (द्विध्रुव आपरेटर को नार्मल निर्देशांक में ऐसिक मान लीजिए)

1. $\psi_0 \rightarrow \psi_1$ 2. $\psi_0 \rightarrow \psi_2$
3. $\psi_0 \rightarrow \psi_3$ 4. $\psi_1 \rightarrow \psi_2$

123. Suppose $\psi_1, \psi_2, \psi_3 \dots$ are wavefunctions of an anharmonic oscillator and $\phi_0, \phi_1, \phi_2, \dots$ are wavefunctions of a harmonic oscillator with increasing order of energy. The subscripts denote vibrational quantum numbers in both the cases. Given

$$\begin{aligned}\psi_0 &= a_1\phi_0 + a_2\phi_2 + a_3\phi_4 \\ \psi_1 &= b_1\phi_0 + b_2\phi_4 + b_3\phi_6 \\ \psi_2 &= c_1\phi_1 + c_2\phi_4 \\ \psi_3 &= d_1\phi_3 + d_2\phi_5\end{aligned}$$

the FORBIDDEN electric dipole (assuming the dipole operator is linear in normal coordinates) transition among the following is

1. $\psi_0 \rightarrow \psi_1$ 2. $\psi_0 \rightarrow \psi_2$
3. $\psi_0 \rightarrow \psi_3$ 4. $\psi_1 \rightarrow \psi_2$

124. यदि C की प्रारंभिक सान्द्रता C_0 है तो तृतीय कोटि की अभिक्रिया $3C \rightarrow$ उत्पादों को अर्ध आयु होगी

1. $\frac{3}{2kC_0^2}$ 2. $\frac{1}{kC_0}$
3. $\frac{3}{2kC_0}$ 4. $\frac{2}{3kC_0^2}$

124. Half-life $t_{1/2}$ for a third order reaction $3C \rightarrow$ products, where C_0 is the initial concentration of C , will be

1. $\frac{3}{2kC_0^2}$ 2. $\frac{1}{kC_0}$
3. $\frac{3}{2kC_0}$ 4. $\frac{2}{3kC_0^2}$

125. प्रयोग द्वारा प्रोक्षित दर नियतांक का मान यदि संघटवाद सिद्धांत के कठोर-गोला मॉडल से प्राप्त दर नियतांक के अधिकतम मान से अधिक है तो

संघट प्राचल (*b*) तथा दो अभिकर्मकों की त्रिज्याओं के योग के मध्य संबंध हैं

- | | |
|--------------------|-----------------------|
| 1. $b = r_1 + r_2$ | 2. $b < r_1 + r_2$ |
| 3. $b > r_1 + r_2$ | 4. $b \leq r_1 + r_2$ |

125. If experimentally observed rate constant is greater than the maximum value of rate constant obtained using hard-sphere model of collision theory, then relation between the impact parameter (*b*) and sum of the radii of two reactants is

- | | |
|--------------------|-----------------------|
| 1. $b = r_1 + r_2$ | 2. $b < r_1 + r_2$ |
| 3. $b > r_1 + r_2$ | 4. $b \leq r_1 + r_2$ |

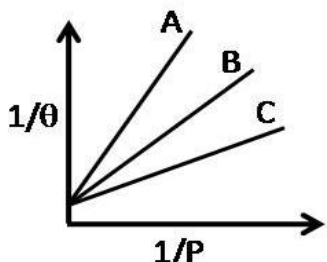
126. हैमिल्टोनियन *H* तथा प्रसामान्य लांबिक आधार का चुनाव कर, लगभग ऊर्जा \bar{E}_j का मान प्राप्त करने के लिए ऐखिक विचरण किया गया है। दो आधार (लांबिक) फलनों से $\bar{E}_1(2) \leq \bar{E}_2(2)$ प्राप्त होता है। 3 आधार (लांबिक) फलनों से इसी प्रकार तीन कोटि की ऊर्जायें $\bar{E}_1(3) \leq \bar{E}_2(3) \leq \bar{E}_3(3)$ प्राप्त होती हैं। निम्नलिखित में से जो संबंध होगा, वह है।

1. $\bar{E}_1(2) \leq \bar{E}_1(3); \quad \bar{E}_2(2) \leq \bar{E}_2(3)$
2. $\bar{E}_1(3) \leq \bar{E}_1(2); \quad \bar{E}_2(2) \leq \bar{E}_2(3)$
3. $\bar{E}_1(2) \leq \bar{E}_1(3); \quad \bar{E}_2(3) \leq \bar{E}_2(2)$
4. $\bar{E}_1(3) \leq \bar{E}_1(2); \quad \bar{E}_2(3) \leq \bar{E}_2(2)$

126. Choosing some Hamiltonian *H* and an orthonormal basis, a linear variation is carried out to get approximate energies \bar{E}_j . With 2 basis functions, one obtains $\bar{E}_1(2) \leq \bar{E}_2(2)$. Taking 3 basis functions, similarly three ordered energies $\bar{E}_1(3) \leq \bar{E}_2(3) \leq \bar{E}_3(3)$ are found. The relation which holds from the following is?

1. $\bar{E}_1(2) \leq \bar{E}_1(3); \quad \bar{E}_2(2) \leq \bar{E}_2(3)$
2. $\bar{E}_1(3) \leq \bar{E}_1(2); \quad \bar{E}_2(2) \leq \bar{E}_2(3)$
3. $\bar{E}_1(2) \leq \bar{E}_1(3); \quad \bar{E}_2(3) \leq \bar{E}_2(2)$
4. $\bar{E}_1(3) \leq \bar{E}_1(2); \quad \bar{E}_2(3) \leq \bar{E}_2(2)$

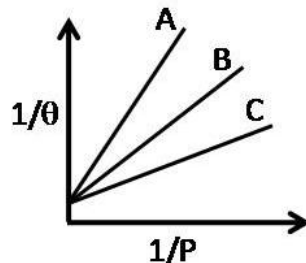
127. तीन गैसों A, B तथा C के अधिशेषण समतापी वकृ निम्न चित्र में दर्शाये गये हैं। जहां θ सतह का प्रतिशत आच्छादन है



इन गैसों के अधिशेषण परिमाण का सही क्रम है

- | | |
|--------------|--------------|
| 1. A > B > C | 2. B > A > C |
| 3. C > A > B | 4. C > B > A |

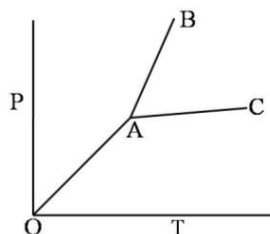
127. Adsorption isotherm of three gases A, B and C are shown in the following figure, where θ is the percentage of surface coverage.



The correct order of the extent of adsorption of these gases is

- | | |
|--------------|--------------|
| 1. A > B > C | 2. B > A > C |
| 3. C > A > B | 4. C > B > A |

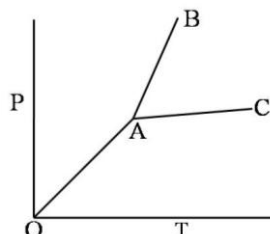
128. एक यौगिक का प्रावस्था आरेख नीचे दर्शाया गया है :



लाइनों OA, AC तथा AB के स्लोप हैं क्रमशः $\tan \frac{\pi}{4}$, $\tan \frac{\pi}{6}$ तथा $\tan \frac{\pi}{3}$. यदि ग्लानक तथा गलन के लिए ΔH क्रमशः 300 K तथा 3 kJ mol⁻¹ हों, तो गलने पर आयतन में जो परिवर्तन होगा वह है

- | | |
|----------------------------|----------------------------|
| 1. $10 \tan \frac{\pi}{3}$ | 2. $10 \tan \frac{\pi}{4}$ |
| 3. $10 \cot \frac{\pi}{3}$ | 4. $10 \cot \frac{\pi}{4}$ |

128. Phase diagram of a compound is shown below:

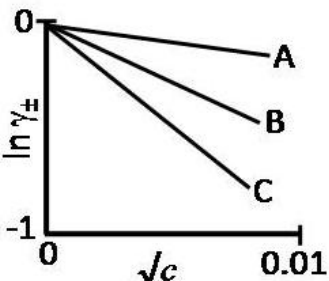


The slopes of the lines OA, AC and AB are $\tan \frac{\pi}{4}$, $\tan \frac{\pi}{6}$ and $\tan \frac{\pi}{3}$, respectively. If melting point and ΔH of melting are 300 K and 3 kJ mol⁻¹ respectively, the change in volume on melting is

- | | |
|----------------------------|----------------------------|
| 1. $10 \tan \frac{\pi}{3}$ | 2. $10 \tan \frac{\pi}{4}$ |
| 3. $10 \cot \frac{\pi}{3}$ | 4. $10 \cot \frac{\pi}{4}$ |

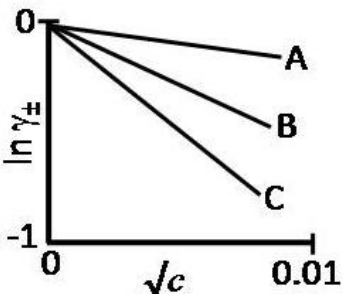
- 129.** एक NMR स्पेक्ट्रोमीटर में 2.5T का चुम्बक सम्मिलित है। ^1H की लार्मोर पुरस्सरण आवृत्ति 100 MHz है। इस स्पेक्ट्रोमीटर में उपयोग की गयी रेडियो आवृत्ति से सम्बद्ध चुम्बकीय क्षेत्र तीव्रता $2.5 \times 10^{-4}\text{T}$ है। इस उपकरण में 90° पल्स की अवधि है
1. $25 \times 10^{-6}\text{s}$
 2. $50 \times 10^{-6}\text{s}$
 3. $25 \times 10^{-5}\text{s}$
 4. $50 \times 10^{-5}\text{s}$
- 129.** In an NMR spectrometer containing a 2.5T magnet, Larmor precession frequency of ^1H is 100 MHz. The radiofrequency used in this spectrometer has an associated magnetic field strength of $2.5 \times 10^{-4}\text{T}$. The duration of a 90° pulse in this instrument is
1. $25 \times 10^{-6}\text{s}$
 2. $50 \times 10^{-6}\text{s}$
 3. $25 \times 10^{-5}\text{s}$
 4. $50 \times 10^{-5}\text{s}$
- 130.** हाइड्रोजन परमाणु की निम्नतम अवस्था में आयनन ऊर्जा लगभग 13.6 eV है। He^+ की निम्नतम अवस्था में स्थितिज ऊर्जा है लगभग
1. -54.4 eV
 2. -27.2 eV
 3. -13.6 eV
 4. -108.8 eV
- 130.** The ionization energy of hydrogen atom in its ground state is approximately 13.6 eV. The potential energy of He^+ , in its ground state is approximately
1. -54.4 eV
 2. -27.2 eV
 3. -13.6 eV
 4. -108.8 eV
- 131.** D_3 बिन्दु समूह के लिए अभिलक्षण सारिणी नीचे दी गयी है
- | D_3 | E | 2C ₃ | 3C ₂ | | |
|----------------|---|-----------------|-----------------|---|--------------------------------|
| A ₁ | 1 | 1 | 1 | x^2+y^2, z^2 | |
| A ₂ | 1 | 1 | -1 | z, R_z | |
| E | 2 | -1 | 0 | (x, y),
(R _x , R _y) | (x^2-y^2 , xy),
(xz, yz) |
- इस बिन्दु समूह के लिए निम्नलिखित में से सही कथन है
1. पूर्ण रूप से सममित कंपन के नार्मल मोड जो IR-सक्रिय हैं का, होना संभव है।
 2. सभी IR-सक्रिय नार्मल मोडों का रामन अक्रिय होना आवश्यक है।
 3. सभी रामन नार्मल मोडों का IR-सक्रिय होना आवश्यक है।
 4. IR-सक्रिय नार्मल मोडों के एक युग्म का जो अपभ्रष्ट हों, का होना संभव है।
- 131.** The character table for the D_3 point group is provided below:
- | D_3 | E | 2C | 3C | | |
|----------------|---|----|----|---|--------------------------------|
| A ₁ | 1 | 1 | 1 | | x^2+y^2, z^2 |
| A ₂ | 1 | 1 | -1 | z, R_z | |
| E | 2 | -1 | 0 | (x, y),
(R _x , R _y) | (x^2-y^2 , xy),
(xz, yz) |
- For this point group, the correct statement among the following is:
1. It is possible to have a totally symmetric normal mode of vibration which is IR-active.
 2. All IR-active normal modes are necessarily Raman inactive
 3. All Raman-active normal modes are necessarily IR-active
 4. It is possible to have a pair of IR-active normal modes that are degenerate.
- 132.** बिन्दु समूह C_4 में सममिति σ_h के संकलन से जो बिन्दु समूह प्राप्त होता है, वह है
1. S_4
 2. C_{4h}
 3. D_{2h}
 4. D_4
- 132.** The point group obtained by adding symmetry operation σ_h to the point group C_4 is
1. S_4
 2. C_{4h}
 3. D_{2h}
 4. D_4
- 133.** एक दुर्बल चुम्बकीय क्षेत्र लगाने पर, दृढ़ घूर्णक के माइक्रोवेव अवशोषण स्पेक्ट्रम में एक लाइन 3 लाइनों में विभाजित हो जाती है। घूर्णात्मक ऊर्जा स्तर जिससे संक्रमण आरम्भ होता है उसकी क्वान्टम संख्या (J) है
1. 0
 2. 1
 3. 2
 4. 3
- 133.** Upon application of a weak magnetic field, a line in the microwave absorption spectrum of rigid rotor splits into 3 lines. The quantum number (J) of the rotational energy level from which the transition originates is
1. 0
 2. 1
 3. 2
 4. 3

134. NaCl, CaCl₂ तथा LaCl₃ के जलीय विलयन, माध्य आयनिक सक्रियता गुणाक ($\ln \gamma_{\pm}$) तथा मोलर सान्द्रता (c) के मध्य निम्नलिखित आरेख दर्शाते हैं।



तब सही विकल्प है

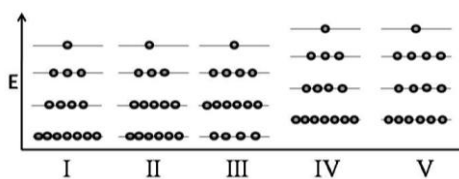
- | | NaCl | CaCl ₂ | LaCl ₃ |
|----|------|-------------------|-------------------|
| 1. | C | B | A |
| 2. | A | B | C |
| 3. | A | C | B |
| 4. | C | A | B |
- 134 Aqueous solutions of NaCl, CaCl₂ and LaCl₃ show the following plots of logarithms of mean ionic activity coefficient ($\ln \gamma_{\pm}$) vs. molar concentration (c):



The correct option is then

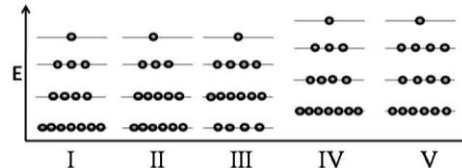
	NaCl	CaCl ₂	LaCl ₃
1.	C	B	A
2.	A	B	C
3.	A	C	B
4.	C	A	B

135. 15 कणों को अवस्था I में दर्शाये 4 स्तरों में वितरित किया गया है। इस निकाय को ऊष्मा देने पर कोई कार्य नहीं होता है। अंतिम अवस्था हो सकती है



1. II
3. IV
2. III
4. V

135. 15 particles are distributed among 4 levels as shown in state I. Heat is given to the system and no work is done. The final state could be



1. II
3. IV
2. III
4. V

136. m संहति का कण एक आयताकार बाक्स जिसकी भुजाये $2a$ तथा a हैं, में परिसीमित है। इसकी प्रथम उत्तरेजिन अवस्था के लिए ऊर्जा तथा अपभ्रष्टता क्रमशः हैं

1. $\frac{\hbar^2}{8m} \left(\frac{2}{a^2}\right), 1$
2. $\frac{\hbar^2}{8m} \left(\frac{17}{4a^2}\right), 2$
3. $\frac{\hbar^2}{8m} \left(\frac{5}{4a^2}\right), 1$
4. $\frac{\hbar^2}{8m} \left(\frac{5}{a^2}\right), 2$

136. For a particle of mass m confined in a rectangular box with sides $2a$ and a , the energy and degeneracy of the first excited state, respectively, are

1. $\frac{\hbar^2}{8m} \left(\frac{2}{a^2}\right), 1$
2. $\frac{\hbar^2}{8m} \left(\frac{17}{4a^2}\right), 2$
3. $\frac{\hbar^2}{8m} \left(\frac{5}{4a^2}\right), 1$
4. $\frac{\hbar^2}{8m} \left(\frac{5}{a^2}\right), 2$

137. C_{3v} बिन्दु समूह की अभिलक्षणक सारणी अतिरिक्त खंडनीय निरूपण Γ के साथ नीचे दी गई है

	E	2C ₃	3σ _v
A ₁	1	1	1
A ₂	1	1	-1
E	2	-1	0
Γ	6	0	2

Γ को जो देता है वह है

1. $A_1 + A_2 + 2E$
2. $2A_1 + 2E$
3. $2A_2 + 2E$
4. $2A_1 + 2A_2 + E$

137. The character table of C_{3v} point group is provided below, along with an additional reducible representation, Γ

	E	2C ₃	3σ _v
A ₁	1	1	1
A ₂	1	1	-1

E	2	-1	0
Γ	6	0	2

Γ is given by

1. $A_1 + A_2 + 2E$
2. $2A_1 + 2E$
3. $2A_2 + 2E$
4. $2A_1 + 2A_2 + E$

138. दो जलीय 1:1 विद्युत-अपघट्य निकाय A तथा B क्रमशः भिन्न तापों, T_A तथा T_B तथा सांदर्ताओं C_A तथा C_B पर हैं। इनकी डेबाई लम्बाईयां समान होंगी, यदि
1. $T_A = 2T_B$ तथा $C_A = 2C_B$
 2. $T_A = 2T_B$ तथा $C_A = C_B/2$
 3. $T_A = \sqrt{2}T_B$ तथा $C_A = 2C_B$
 4. $T_A = 2T_B$ तथा $C_A = \sqrt{2}C_B$

138. Two aqueous 1:1 electrolyte systems A and B are at different temperatures T_A and T_B and C_A and C_B concentrations, respectively. Their Debye lengths will be equal if
1. $T_A = 2T_B$ and $C_A = 2C_B$
 2. $T_A = 2T_B$ and $C_A = C_B/2$
 3. $T_A = \sqrt{2}T_B$ and $C_A = 2C_B$
 4. $T_A = 2T_B$ and $C_A = \sqrt{2}C_B$

139. 1-d बाक्स में उपस्थित कण की निम्नतम अवस्था में औसत संवेग का मान शून्य है क्योंकि
1. $[p, H] = 0$
 2. $V(\text{पैटेन्शल}) = 0$
 3. H हर्मिटी है
 4. अवस्था परिबन्ध तथा स्थिर है

139. Average value of momentum for the ground state of a particle in a 1-d box is zero because
1. $[p, H] = 0$
 2. $V(\text{potential}) = 0$
 3. H is hermitian
 4. the state is bound and stationary

140. यदि V तथा T का फलन U हो तो $\left(\frac{\partial U}{\partial T}\right)_P$ जिसके बराबर होता है, वह है (π तथा α क्रमशः आंतरिक दाब तथा तापीय प्रसरण गुणांक है)
1. C_P
 2. C_V
 3. $C_P - \pi V \alpha$
 4. $C_V + \pi V \alpha$

140. If U is a function of V and T , $\left(\frac{\partial U}{\partial T}\right)_P$ is equal to (π and α are the internal pressure and the

coefficient of thermal expansion, respectively.)

1. C_P
2. C_V
3. $C_P - \pi V \alpha$
4. $C_V + \pi V \alpha$

141. हाइड्रोजन अणु के लिए सरल आण्विक आर्बिटल सिद्धांत के अनुसार आबन्धन σ_g तथा प्रतिआबन्धन σ_u आण्विक आर्बिटलों का निर्माण दो हाइड्रोजन परमाणुओं के परमाण्वीय आर्बिटलों के ऐखिक सम्मिश्रण से करते हैं। शुद्ध सहसंयोजी सिंगलेट तरंगफलन का त्रिविम स्थानिक भाग जिससे प्राप्त होता है, वह है

1. $\sigma_g^2 + \sigma_u^2$
2. σ_g^2
3. $\sigma_g^2 - \sigma_u^2$
4. $\sigma_g^2 + \frac{1}{2}\sigma_u^2$

141. In simple molecular orbital theory of hydrogen molecule, bonding σ_g and anti-bonding σ_u molecular orbitals are constructed as linear combinations of atomic orbitals of two hydrogen atoms. The spatial part of a purely covalent singlet wavefunction is obtained by

1. $\sigma_g^2 + \sigma_u^2$
2. σ_g^2
3. $\sigma_g^2 - \sigma_u^2$
4. $\sigma_g^2 + \frac{1}{2}\sigma_u^2$

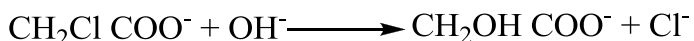
142. जलीय विलयन में रासायनिक अभिक्रिया



के लिए सही कथन है

1. दाब का बढ़ना दर नियतांक बढ़ा देता है
2. परावैद्युतांक का बढ़ना दर नियतांक बढ़ा देता है
3. आयनिक सान्दर्ता का बढ़ाना दर नियतांक घटा देता है
4. सक्रियण की एन्ट्रापी धनात्मक है।

142. For the chemical reaction in aqueous solution



the correct statement is:

1. Increase of pressure increases the rate constant.
2. Increase of dielectric constant increases the rate constant.
3. Increase of ionic strength decreases the rate constant.
4. The entropy of activation is positive

143. एक हर्मिटी आपरेटर A जो हैमिल्टोनियन H के साथ कम्पूट नहीं करता है, के लिए मान लीजिए A का आइगन फलन ψ_1 है तथा H का आइगन फलन ψ_2 है। H के साथ A के कम्पूरेटर ($[A, H]$) के औसत मान के लिए सही कथन हैं

1. दोनों $\langle \psi_1 | [A, H] | \psi_1 \rangle$ तथा $\langle \psi_2 | [A, H] | \psi_2 \rangle$ अशून्य हैं।
2. केवल $\langle \psi_1 | [A, H] | \psi_1 \rangle$ शून्य है लेकिन $\langle \psi_2 | [A, H] | \psi_2 \rangle$ अशून्य है।
3. केवल $\langle \psi_2 | [A, H] | \psi_2 \rangle$ शून्य है लेकिन $\langle \psi_1 | [A, H] | \psi_1 \rangle$ अशून्य है।
4. दोनों $\langle \psi_1 | [A, H] | \psi_1 \rangle$ तथा $\langle \psi_2 | [A, H] | \psi_2 \rangle$ शून्य हैं।

143. For a hermitian operator A, which does NOT commute with the Hamiltonian H, let ψ_1 be an eigenfunction of A and ψ_2 be an eigenfunction of H. The correct statement regarding the average value of the commutator of A with H ($[A, H]$) is:

1. Both $\langle \psi_1 | [A, H] | \psi_1 \rangle$ and $\langle \psi_2 | [A, H] | \psi_2 \rangle$ are non-zero
2. Only $\langle \psi_1 | [A, H] | \psi_1 \rangle$ is zero, but $\langle \psi_2 | [A, H] | \psi_2 \rangle$ is non-zero
3. Only $\langle \psi_2 | [A, H] | \psi_2 \rangle$ is zero, but $\langle \psi_1 | [A, H] | \psi_1 \rangle$ is non-zero
4. Both $\langle \psi_1 | [A, H] | \psi_1 \rangle$ and $\langle \psi_2 | [A, H] | \psi_2 \rangle$ are zero

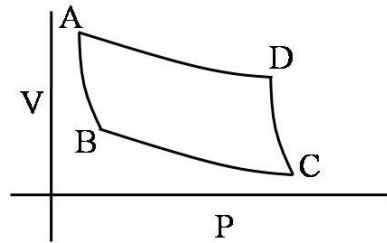
144. एक सरल घनीय जालक के लिए एक सेल की लम्बाई तथा दो सन्निकट समानान्तर क्रिस्टल समतलों के मध्य वियोजन, के अनुपात का जो मान नहीं हो सकता है, वह है

1. $5^{1/2}$
2. $7^{1/2}$
3. $11^{1/2}$
4. $13^{1/2}$

144. For a simple cubic lattice, the ratio between the unit cell length and the separation of two adjacent parallel crystal planes can NOT have a value of

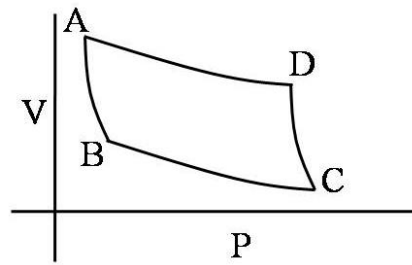
1. $5^{1/2}$
2. $7^{1/2}$
3. $11^{1/2}$
4. $13^{1/2}$

145. कार्नो इंजन कैसे काम करता है यह निम्न चित्र में वर्णित है। यह एक रुदधोष्य संपीड़न पद से प्रारंभ होता है। इसको जिससे निर्दिष्ट किया गया है, वह है



1. AB
2. BC
3. DC
4. AD

145. The figure below describes how a Carnot engine works. It starts from the adiabatic compression step denoted by



1. AB
2. BC
3. DC
4. AD

FOR ROUGH WORK